

HUMAN HEALTH

IN VIVO IMAGING

IVIS®小动物活体 影像技术原理及 应用分享

张建 活体影像技术支持

Jian.zhang@perkinelmer.com



PerkinElmer 生命科学领域解决方案

高通量多标记检测

整合的解决方案,贯穿转化医学的所有环节





众多科研院所、高校及企业



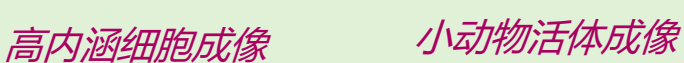
帮助中国科学家在顶尖 刊物发表数万余篇重要论文, 助力生命科学前沿探索













核酸提取

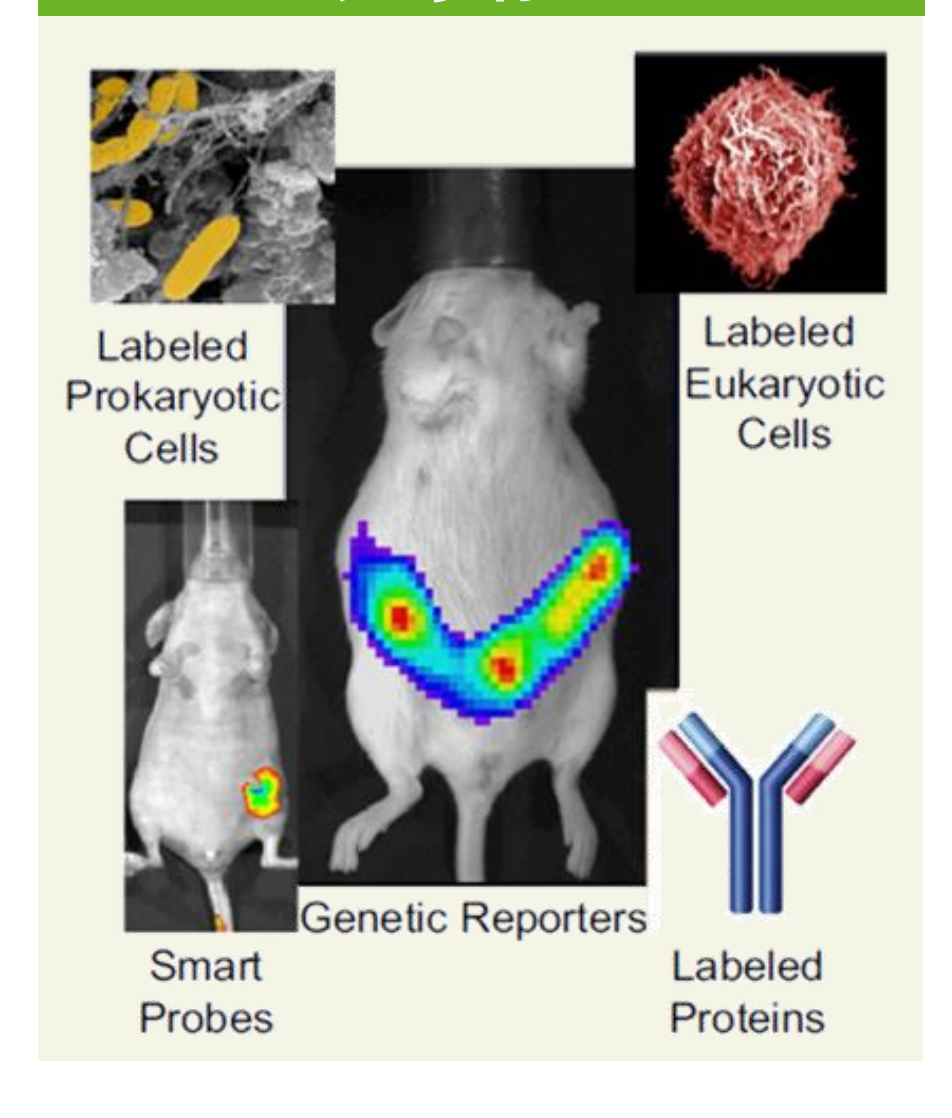


小动物活体光学 成像——是通过 一定的方式对子 一定对象进行光明 究对。使其具有 发光的性质, 发光的性质, 通过成像技术

设备对光信号进

行采集成像。

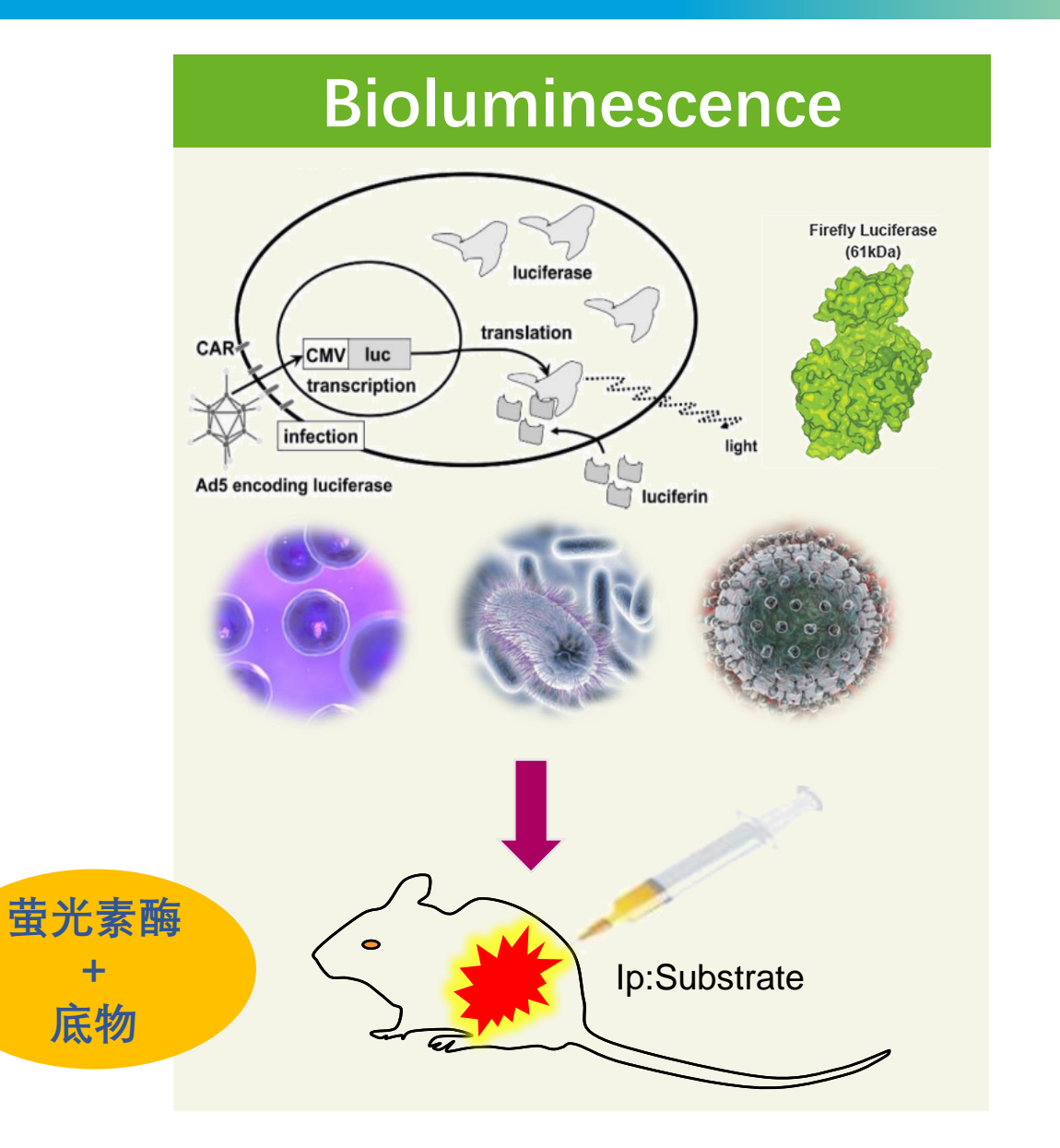


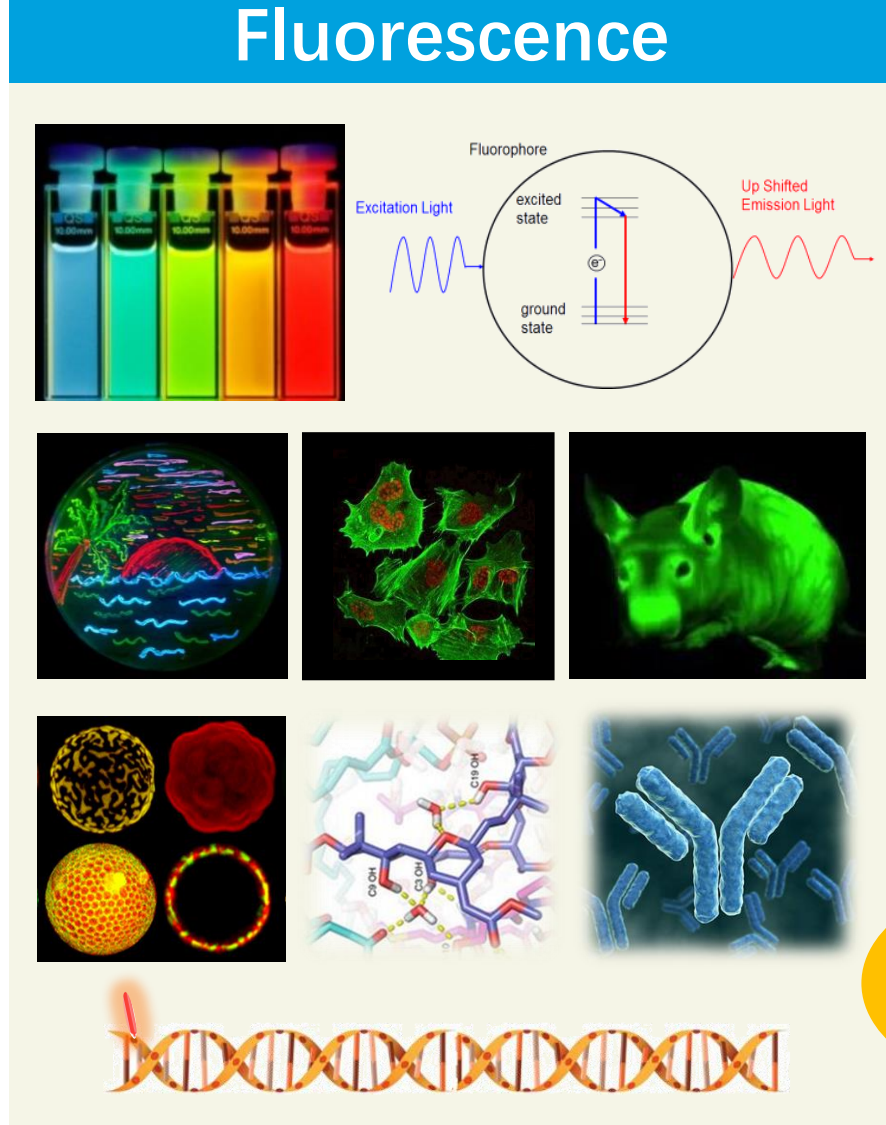


成像技术及设备







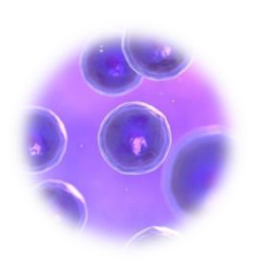


标记方式-小结



HUMAN HEALTH | ENVIREMENTAL HEALTH

检测对象



标记方式

荧光素酶(长期) 荧光蛋白(长期) 脂溶性荧光染料(短期) 荧光探针

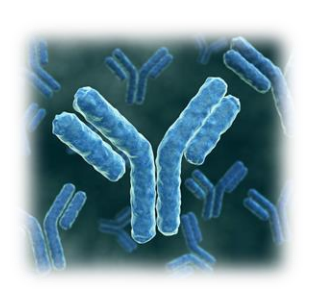


荧光素酶(长期) 荧光蛋白(长期) 荧光探针



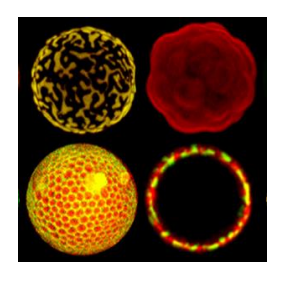
荧光素酶 (Nluc/Gluc)

检测对象

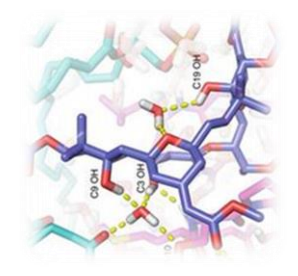


标记方式

活化荧光染料-共价结合



荧光染料-包裹、包埋 荧光蛋白-膜上表达 活化荧光染料-膜上蛋白共价结合



活化荧光染料-共价结合、从头合成



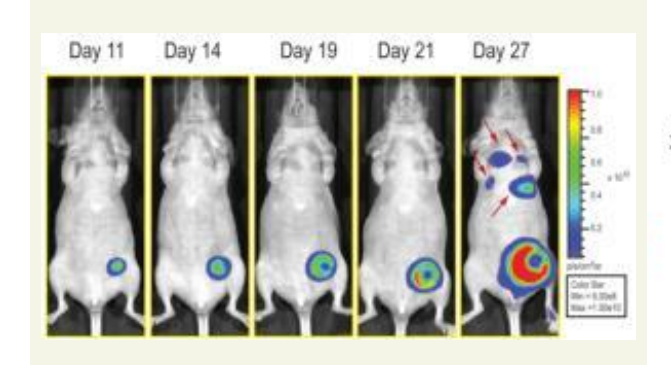
活化荧光染料-共价结合



HUMAN HEA

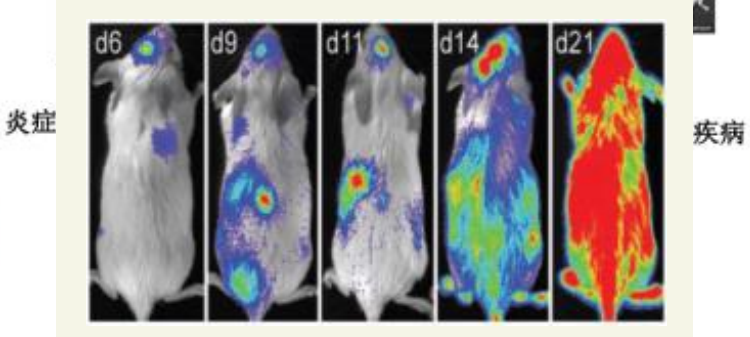
纳米材料研究

监测疾病的发生发展及治疗



- □癌症
- □ 免疫性疾病
- □ 感染性疾病
- □ 代谢性疾病
- □ 心血管疾病
- □ 神经疾病

监测细胞动态变化

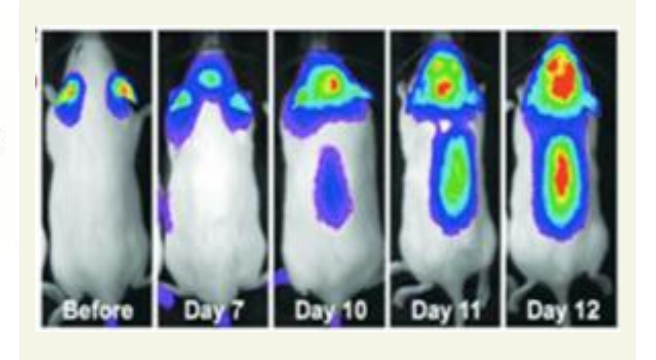


□ 干细胞

肿瘤癌症

- □ 免疫细胞
- □ 存活
- □分布
- □迁移
- □ 靶向

探究疾病分子机制



- □ 基因与疾病关系
- □ 疾病信号通路
- □ 细胞因子作用

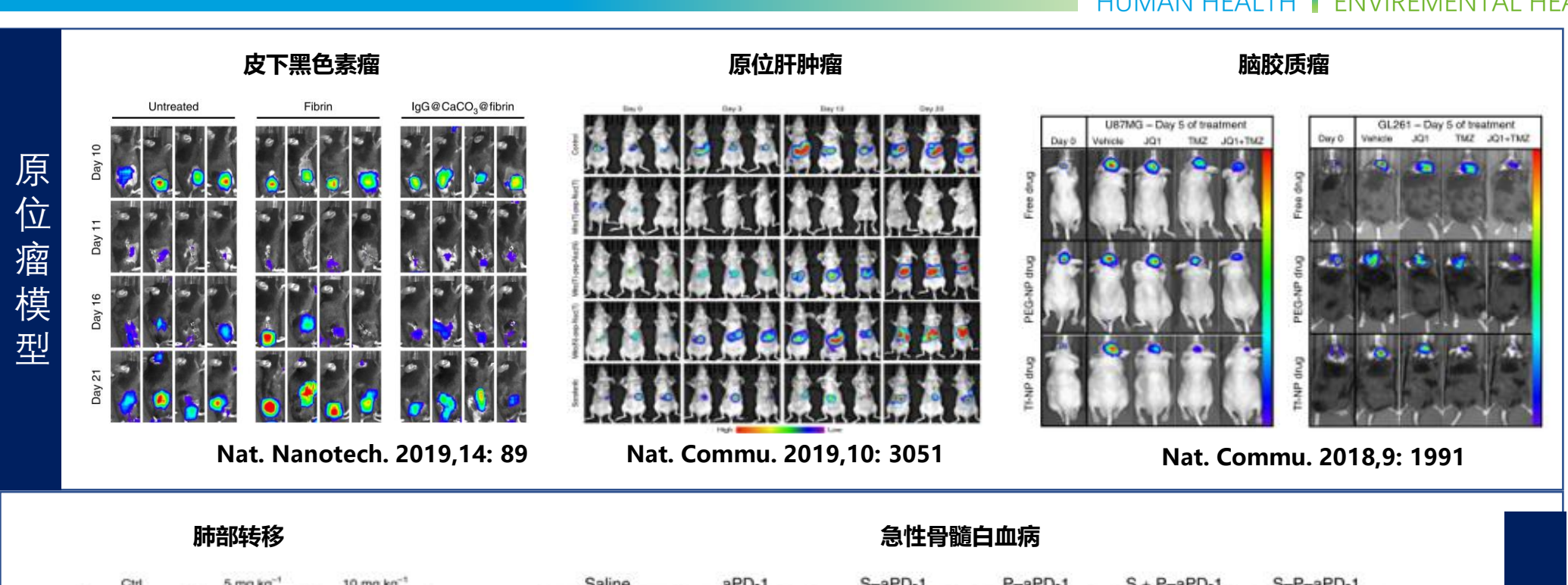


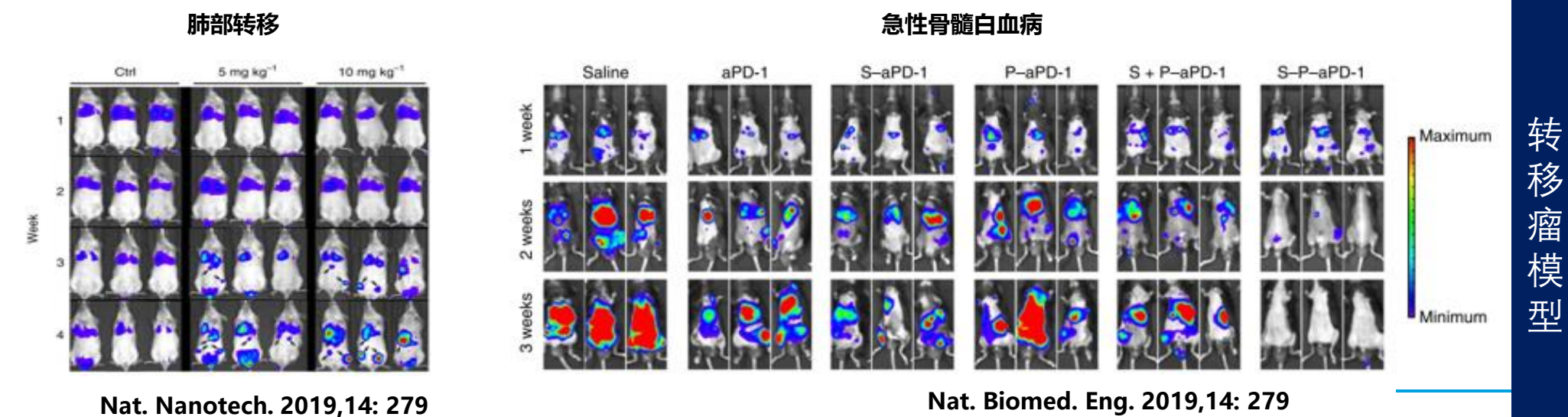
科学





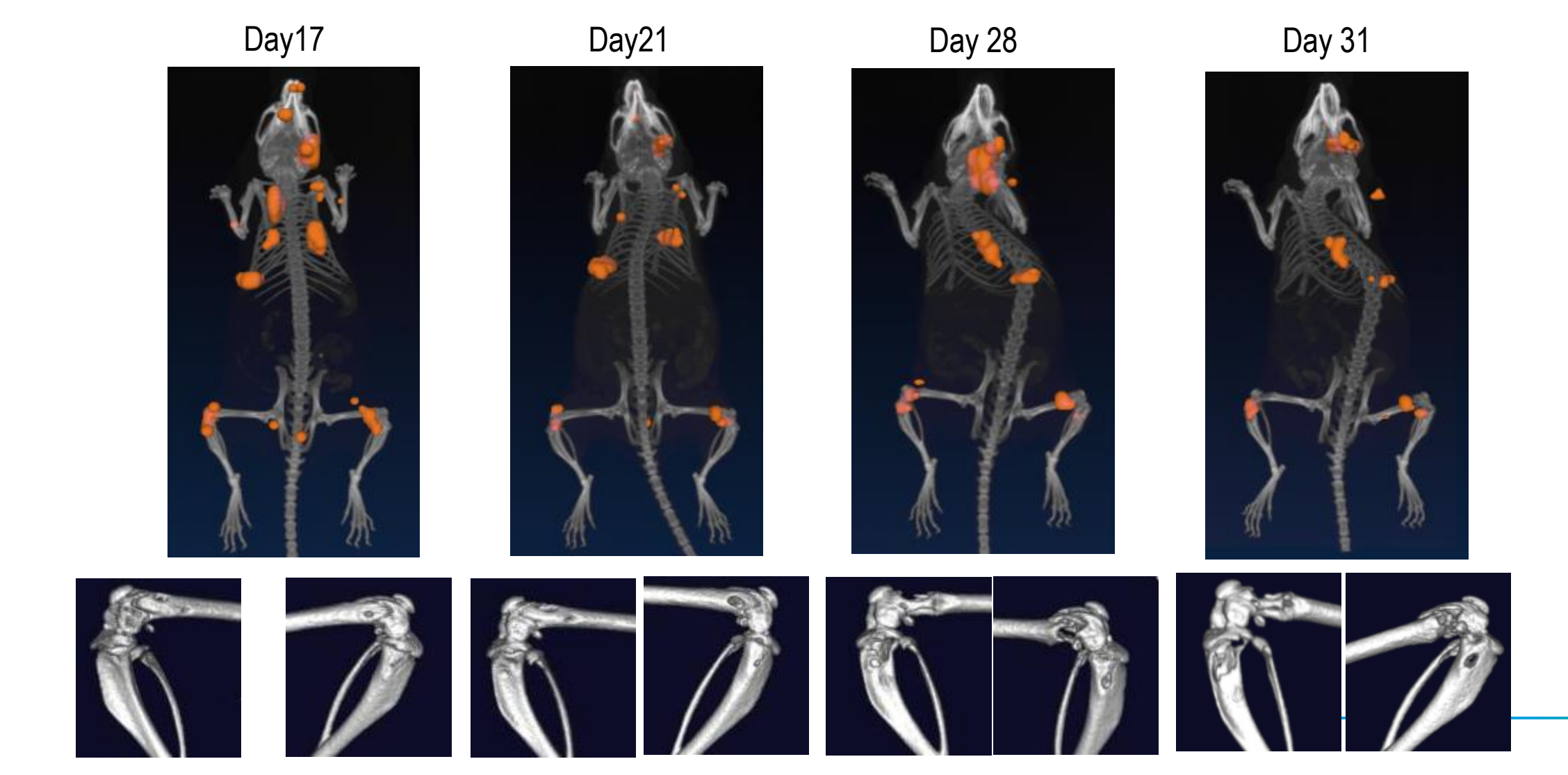








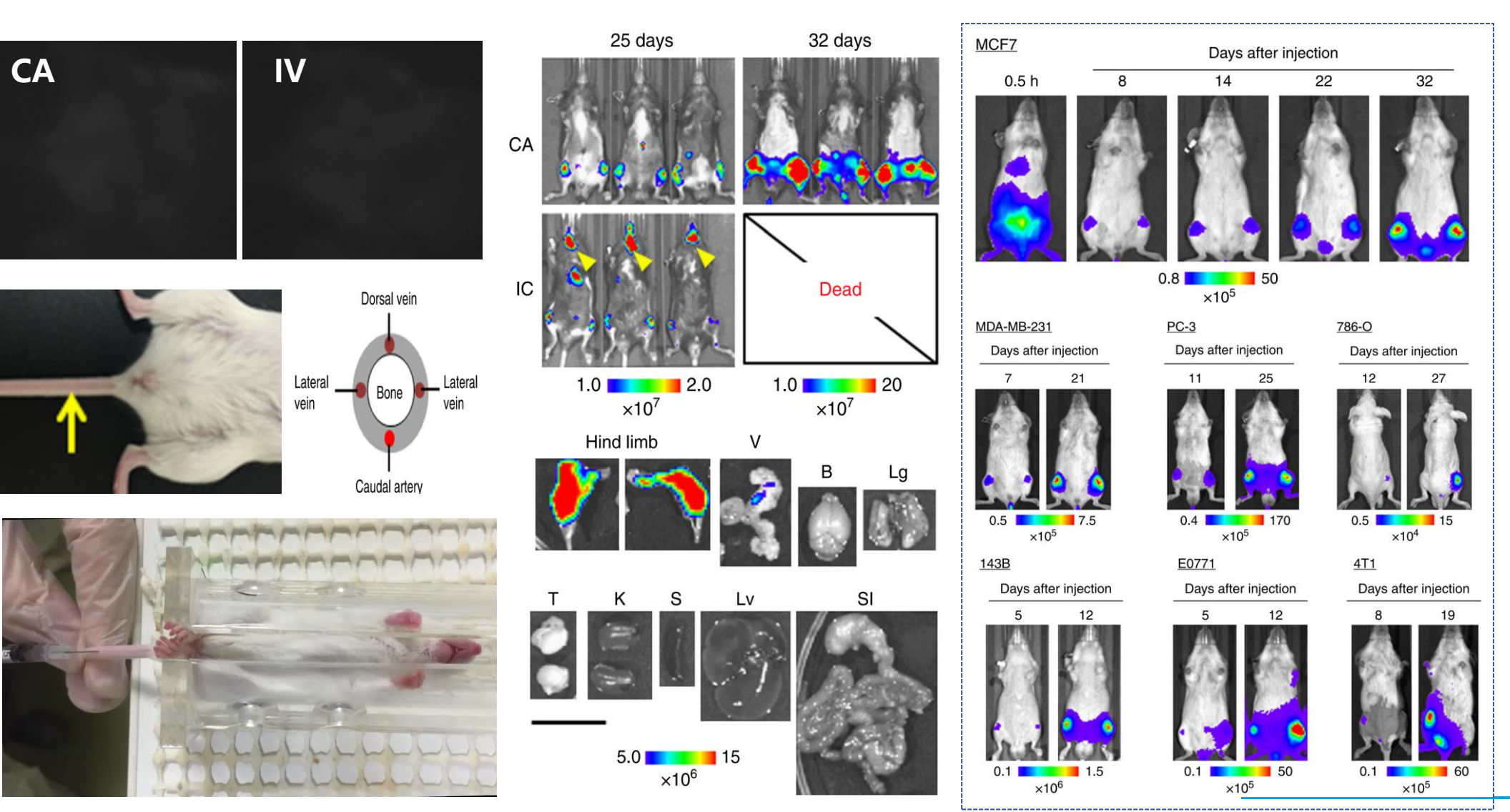
3D bioluminescent were co-registered with the the subject's skeletal anatomy



肿瘤发生发展——肿瘤研究模型的构建



尾动脉注射肿瘤细胞构建骨转移模型

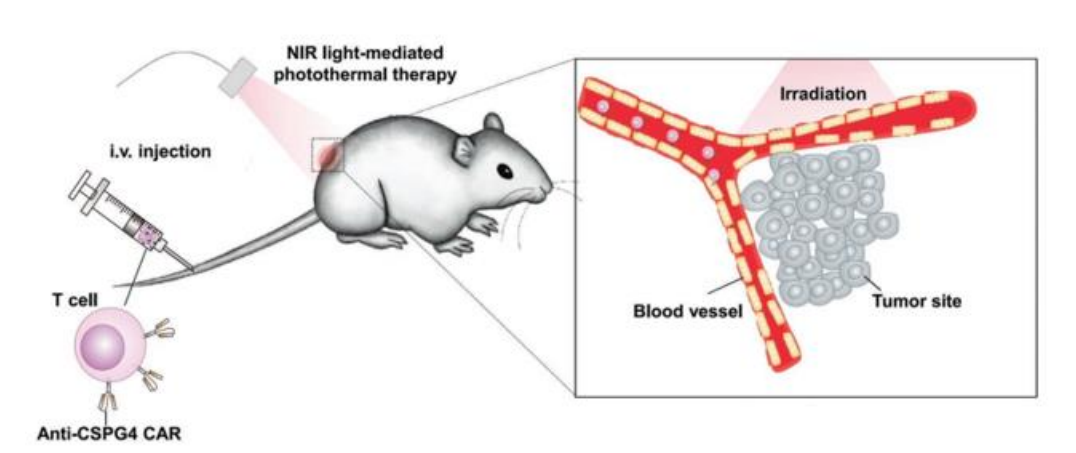


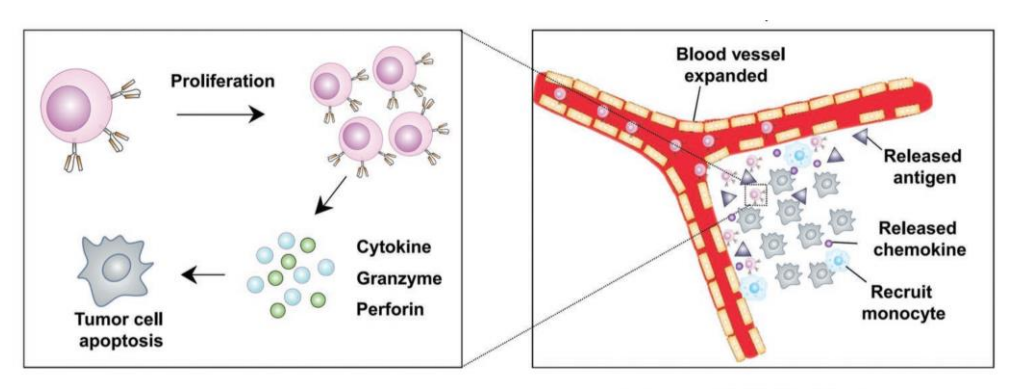
Nature Biomedical Engineering 2019, 3: 452-456



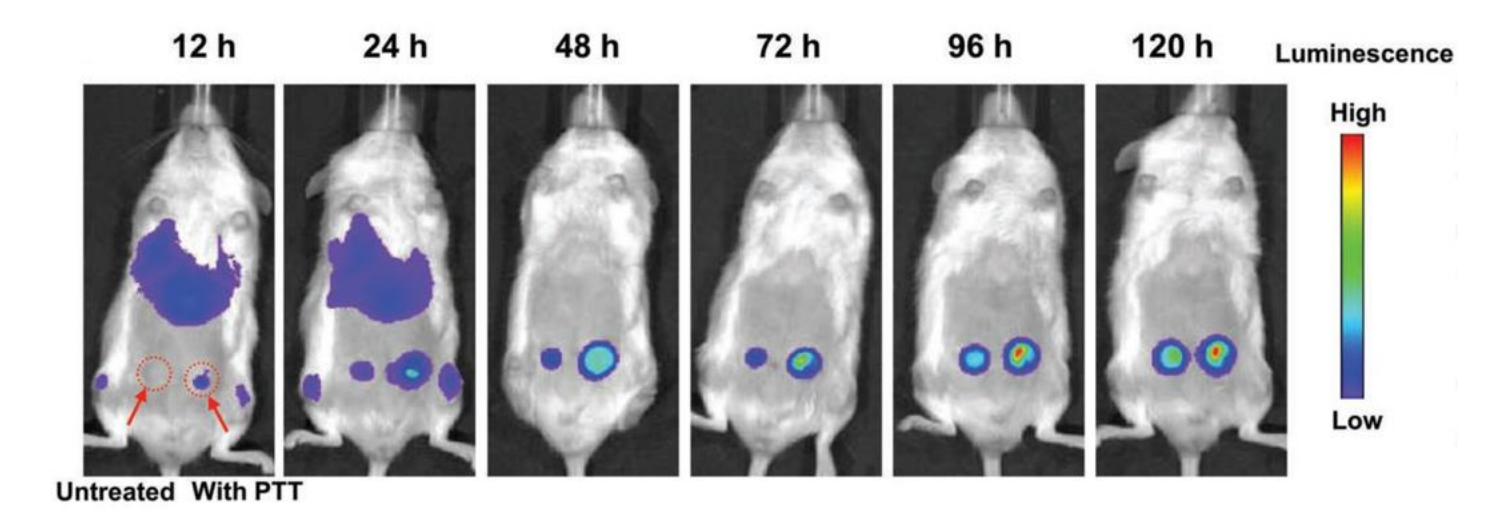
CAR-T细胞靶向肿瘤

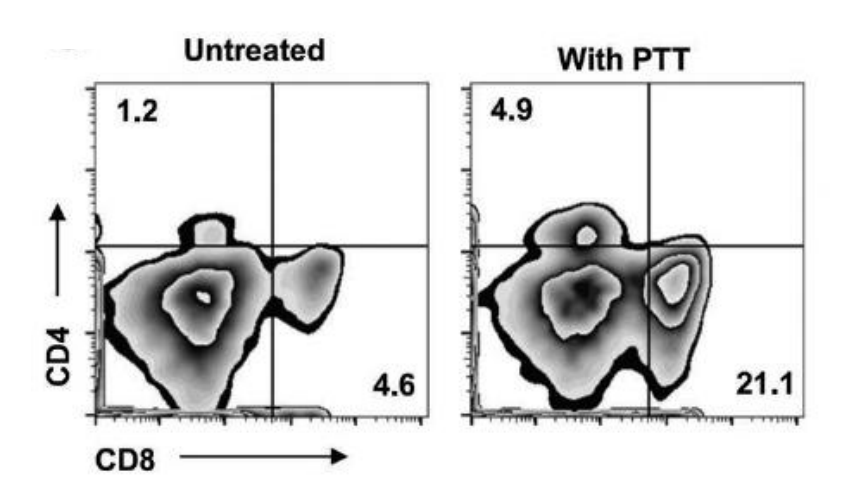
After PTT





Enhanced CAR T infiltration

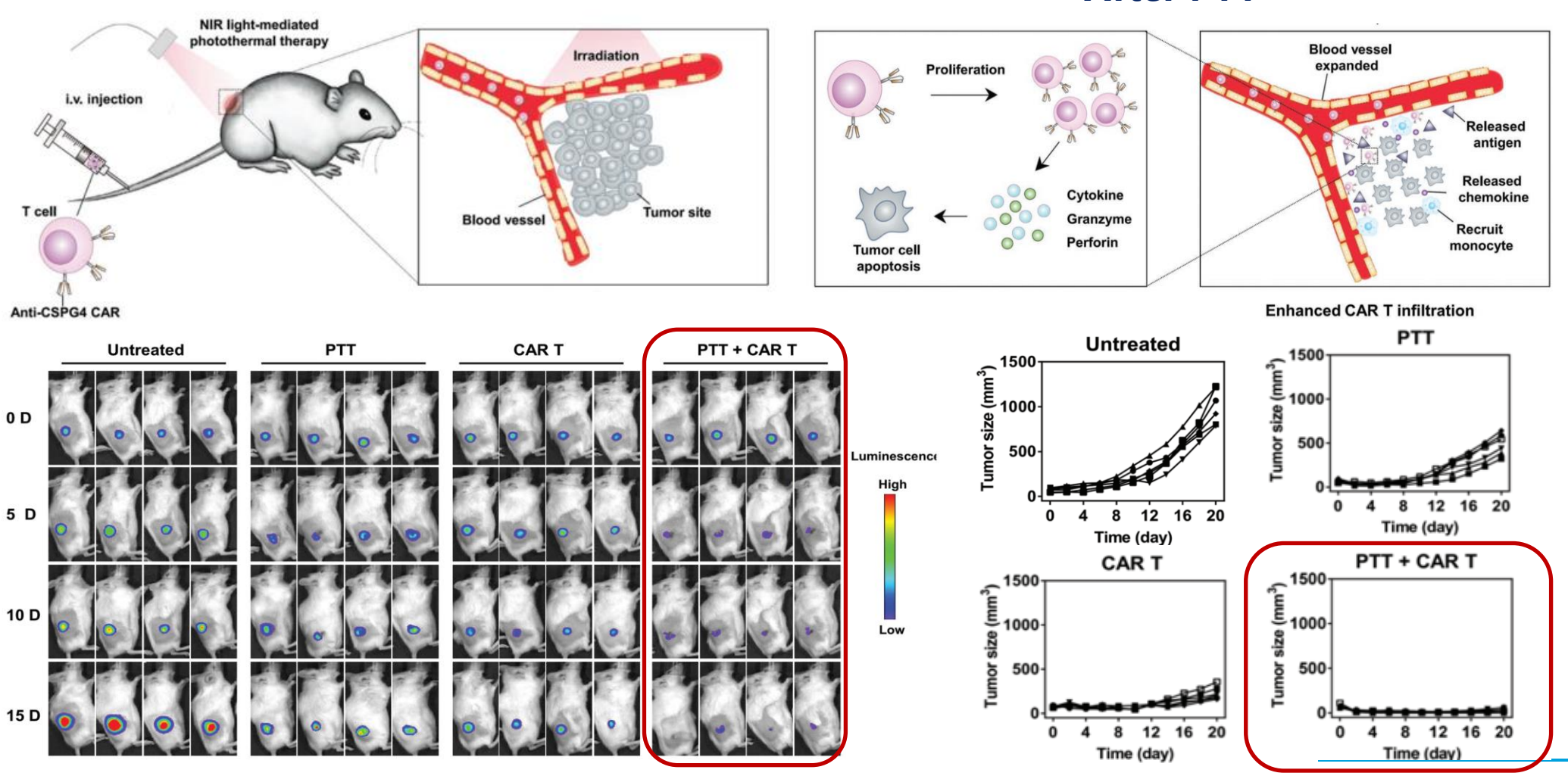






CAR-T 细胞结合光热作用 (PTT) 治疗实体肿瘤

After PTT

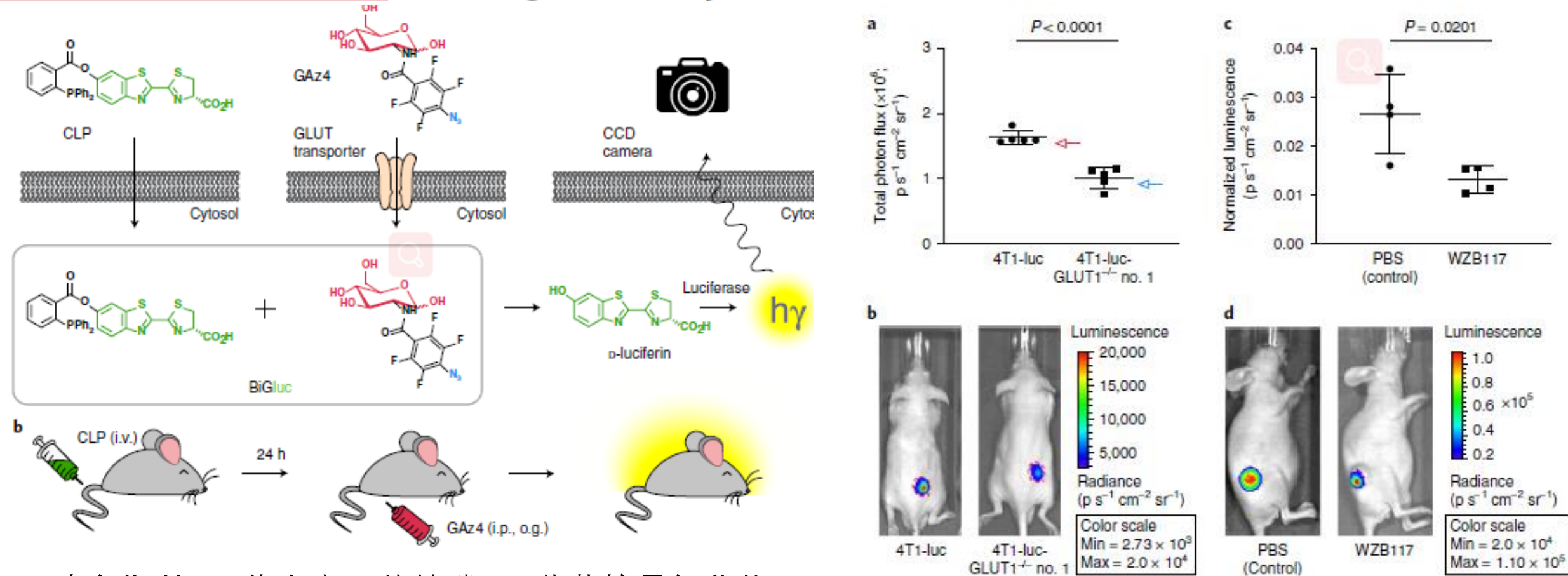


Adv. Mater. 2019, 1900192



nature methods

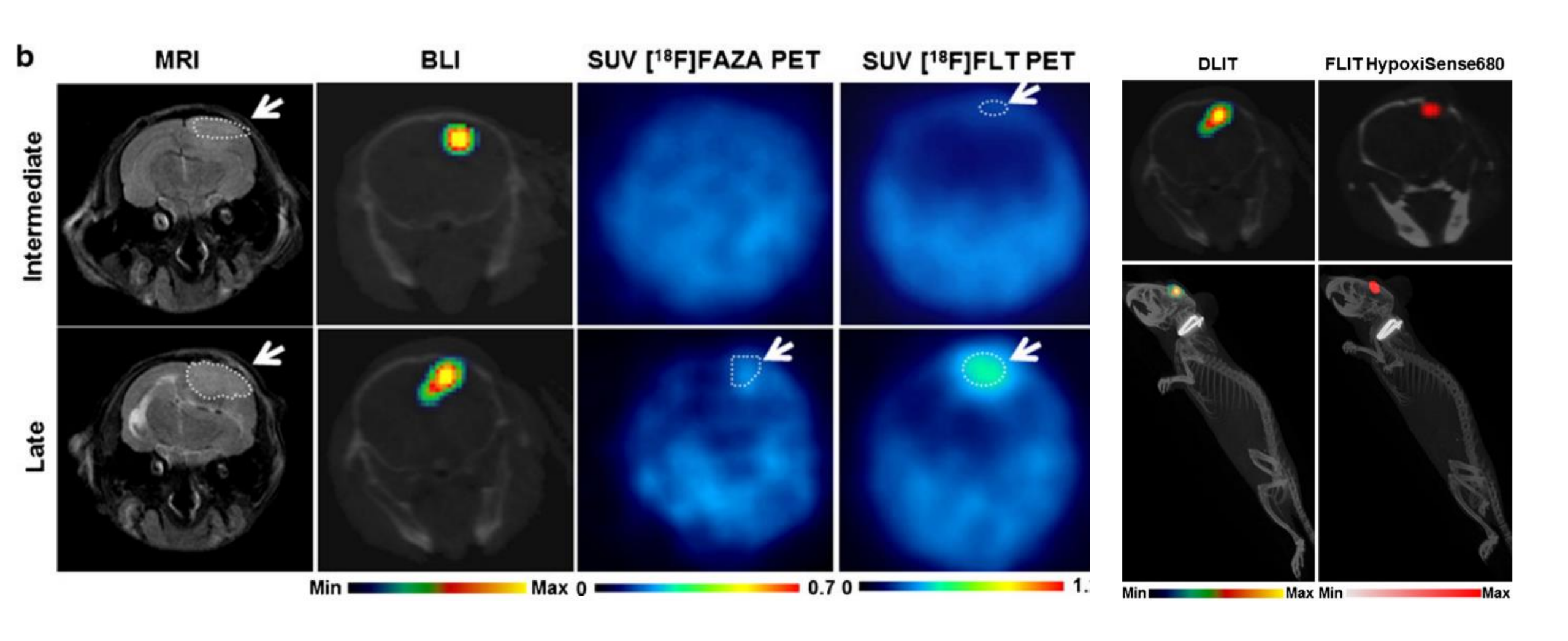
Bioluminescent-based imaging and quantification of glucose uptake in vivo



肿瘤代谢: 萤光素三芳基膦

葡萄糖叠氮化物

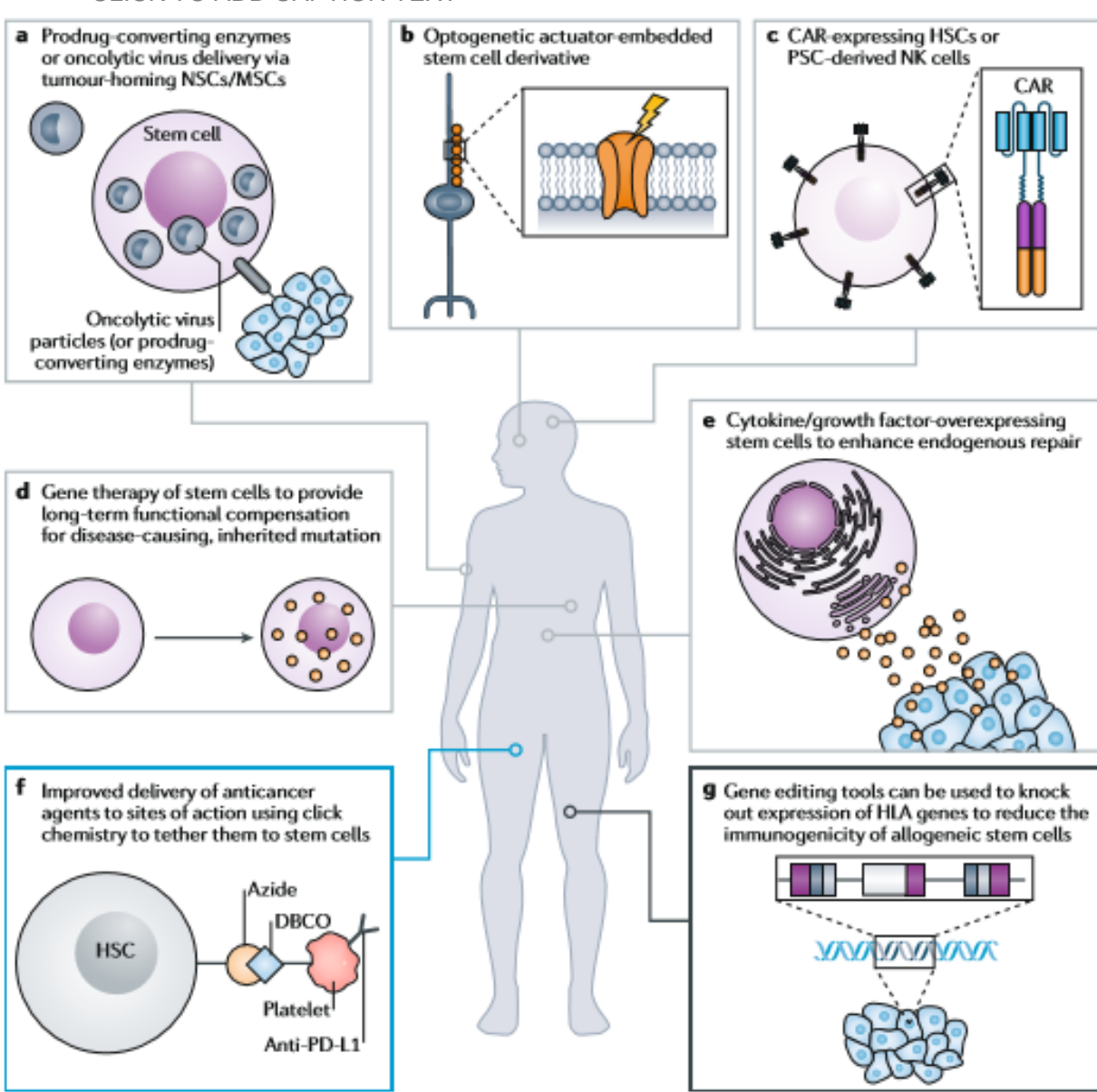




Lo Dico, A., et al. Mol Imaging Biol (2014) 16: 210.

干细胞治疗

CLICK TO ADD CAPTION TEXT



- Virus as a key tool
- Click chemistry
- Nuclease or AAV-based gene editing

病毒

肿瘤归巢载药

光遗传增加活性

肿瘤免疫应用: HSC-CAR, PSC-derived NK

基因治疗:治疗遗传性疾病

增强组织修复:表达细胞因子

点击化学

将抗癌药物捆绑在干细胞上,提高了抗癌药物的作用位点

基因编辑

敲除HLA基因的表达,降低异体干细胞的免疫原性

干细胞损伤治疗

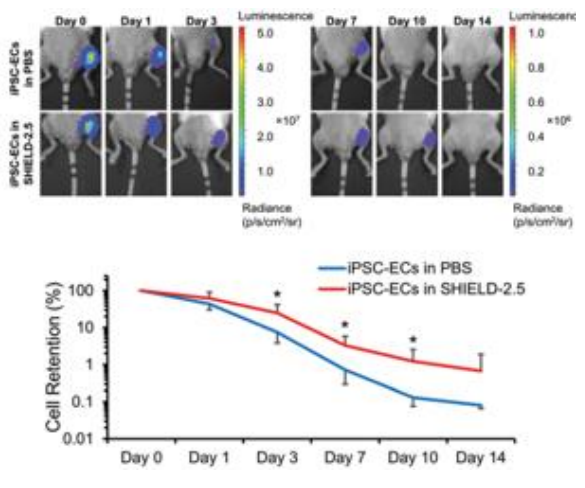


HUMAN HEALTH | ENVIREMENTAL HEALTH

肝损伤5 min 1 h 2 h 6 h 12 h 24 h 2 day 3 day

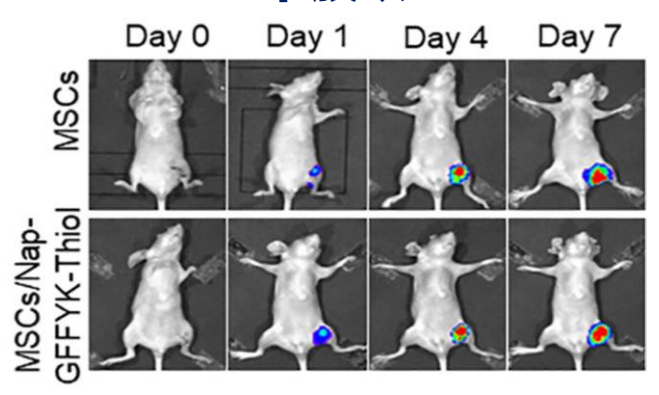
ACS Appl. Mater. Interfaces 2019, 11, 8763

外周动脉



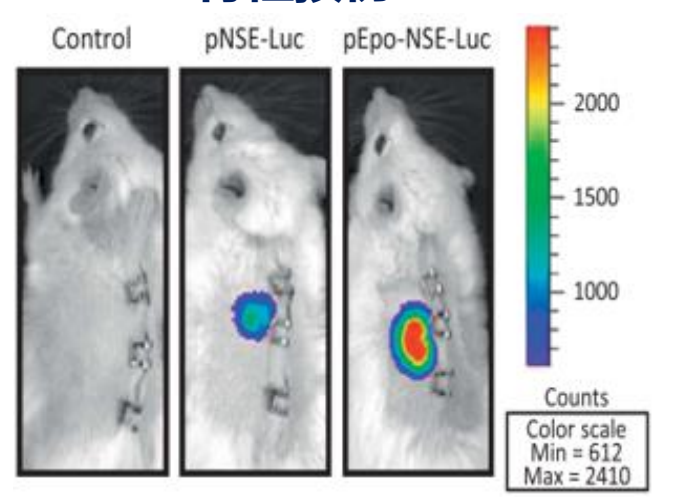
Biomater. Sci., 2018, 6, 614

下肢缺血



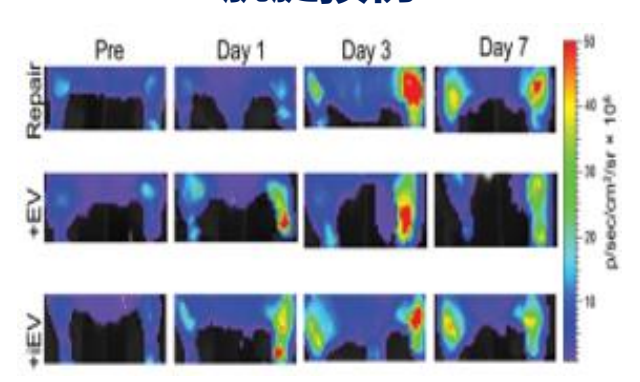
Acta Biomaterialia 2019, 85: 94

脊柱损伤

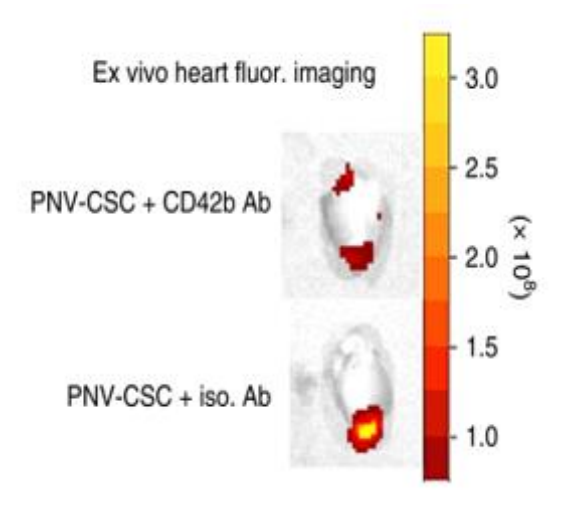


Gene Therapy 2018: 27

肌腱损伤



心脏损伤

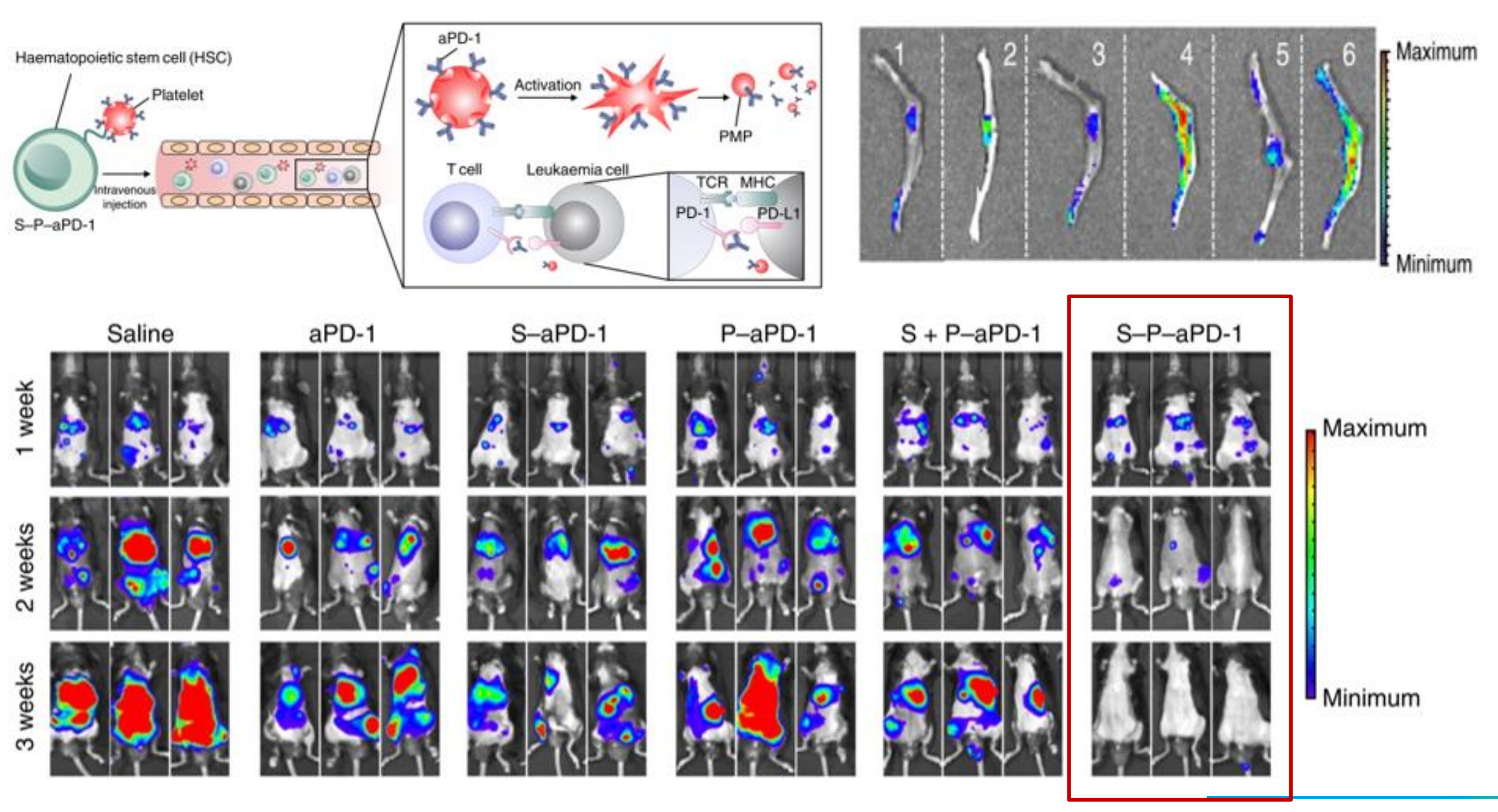


Nat. Biomed. Enginee. 2018, 2: 17

干细胞治疗-肿瘤治疗

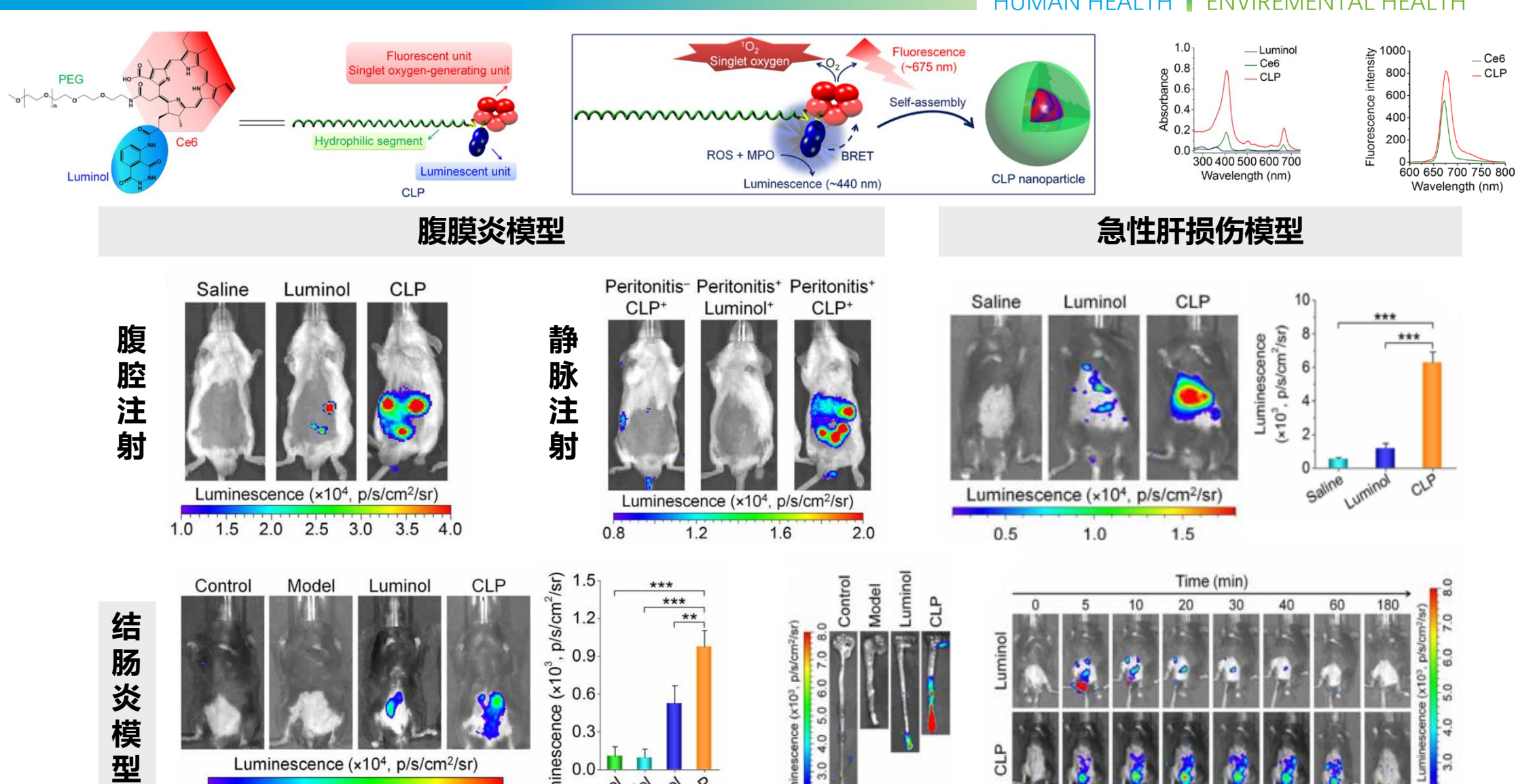


HUMAN HEALTH | ENVIREMENTAL HEALTH



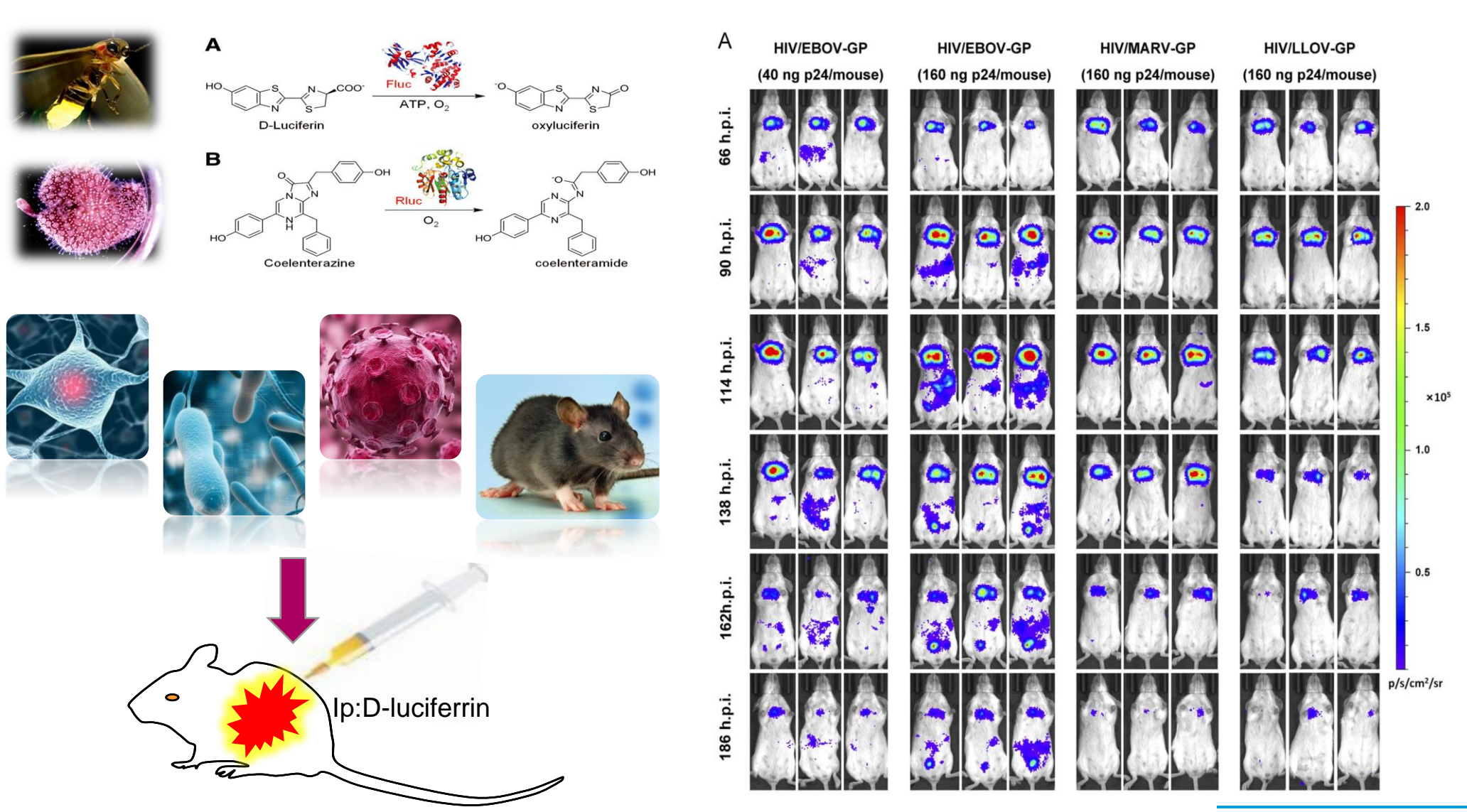
Nature Biomedical engineering 2018, 2: 831-840





Xu et al., Science Advances 2019; 5: 2953





Acta pharmaceutica sinica B, 2018, 8(2): 200-208

活体光学成像——应用概述

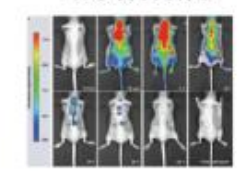


HUMAN HEALTH | ENVIREMENTAL HEALTH

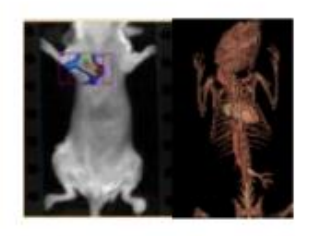
肿瘤癌症



纳米材料研究



心血管疾病

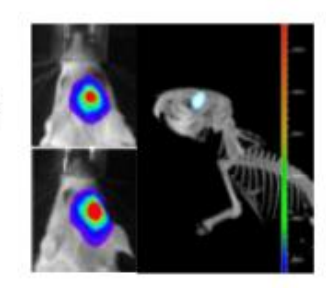


炎症

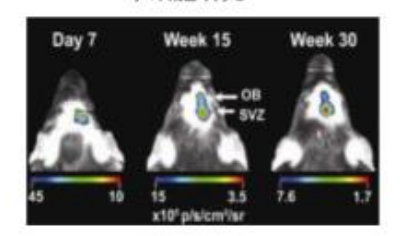
药物研究



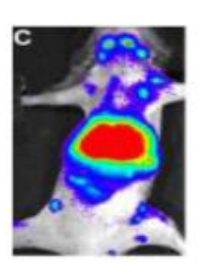
神经科学



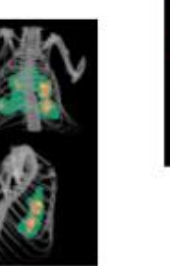
干细胞研究



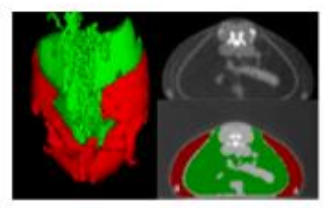
免疫和移植生物学



传染性疾病



代谢研究







成像模式选择

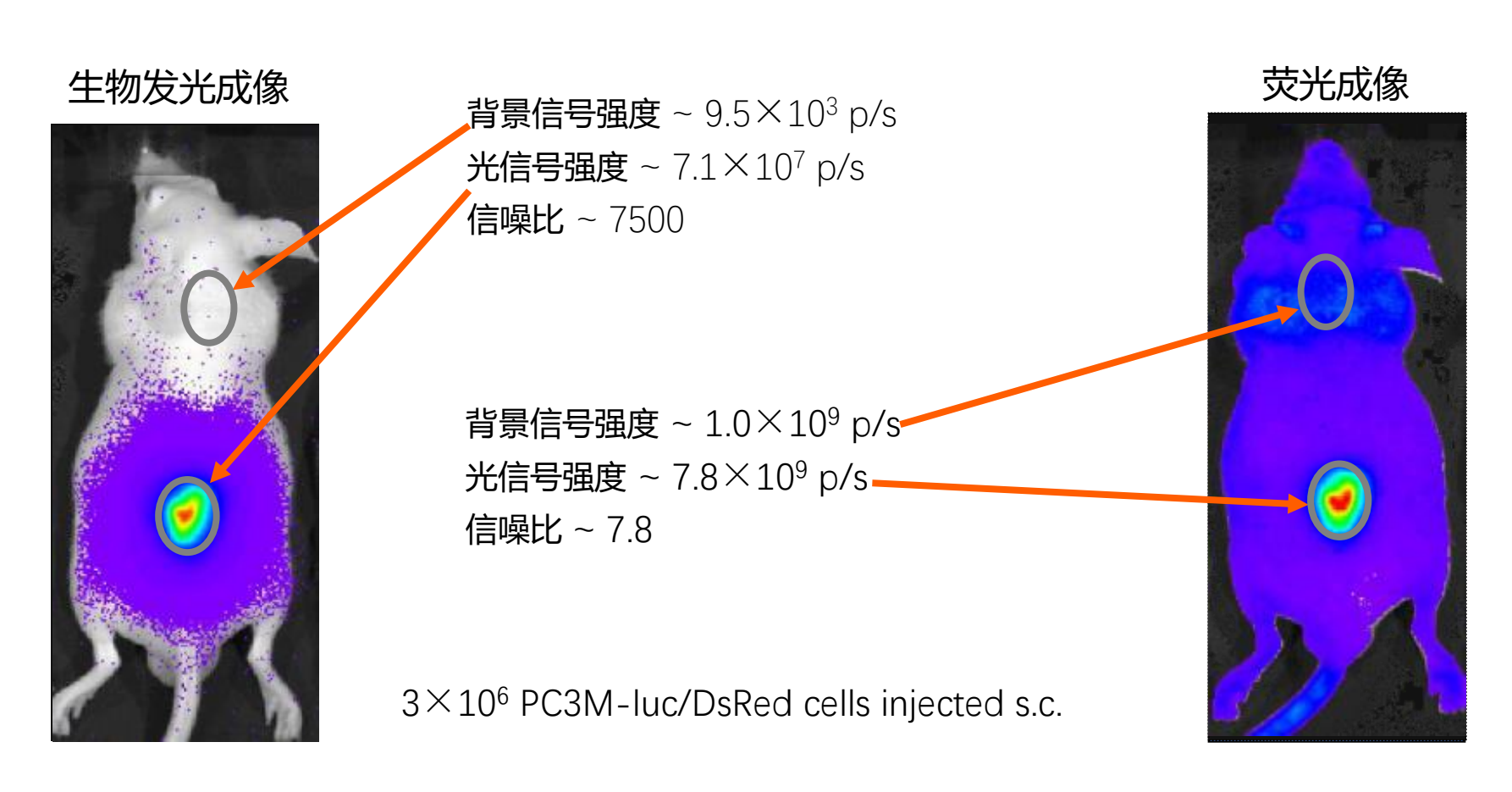
荧光成像

生物发光成像

成像模式选择——生物发光 vs 荧光



HUMAN HEALTH | ENVIREMENTAL HEALTH



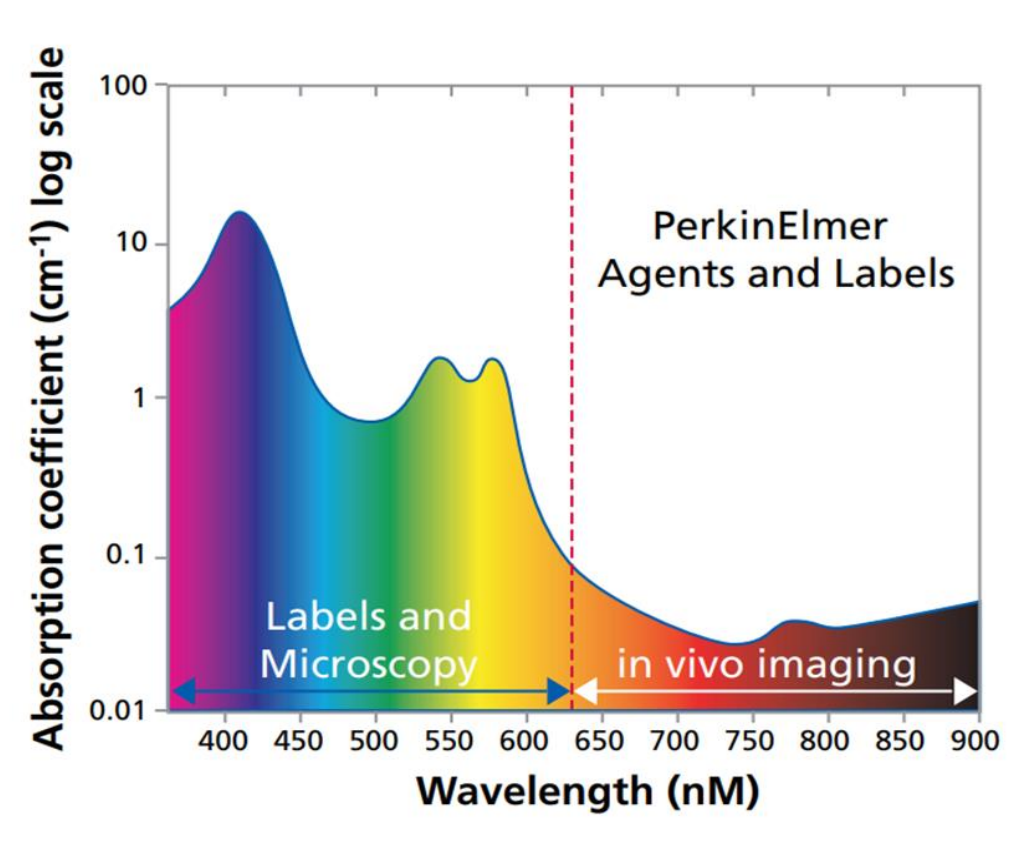
荧光成像灵敏度通常比生物发光成像低1000倍

荧光波长选择—透过率和背景噪音

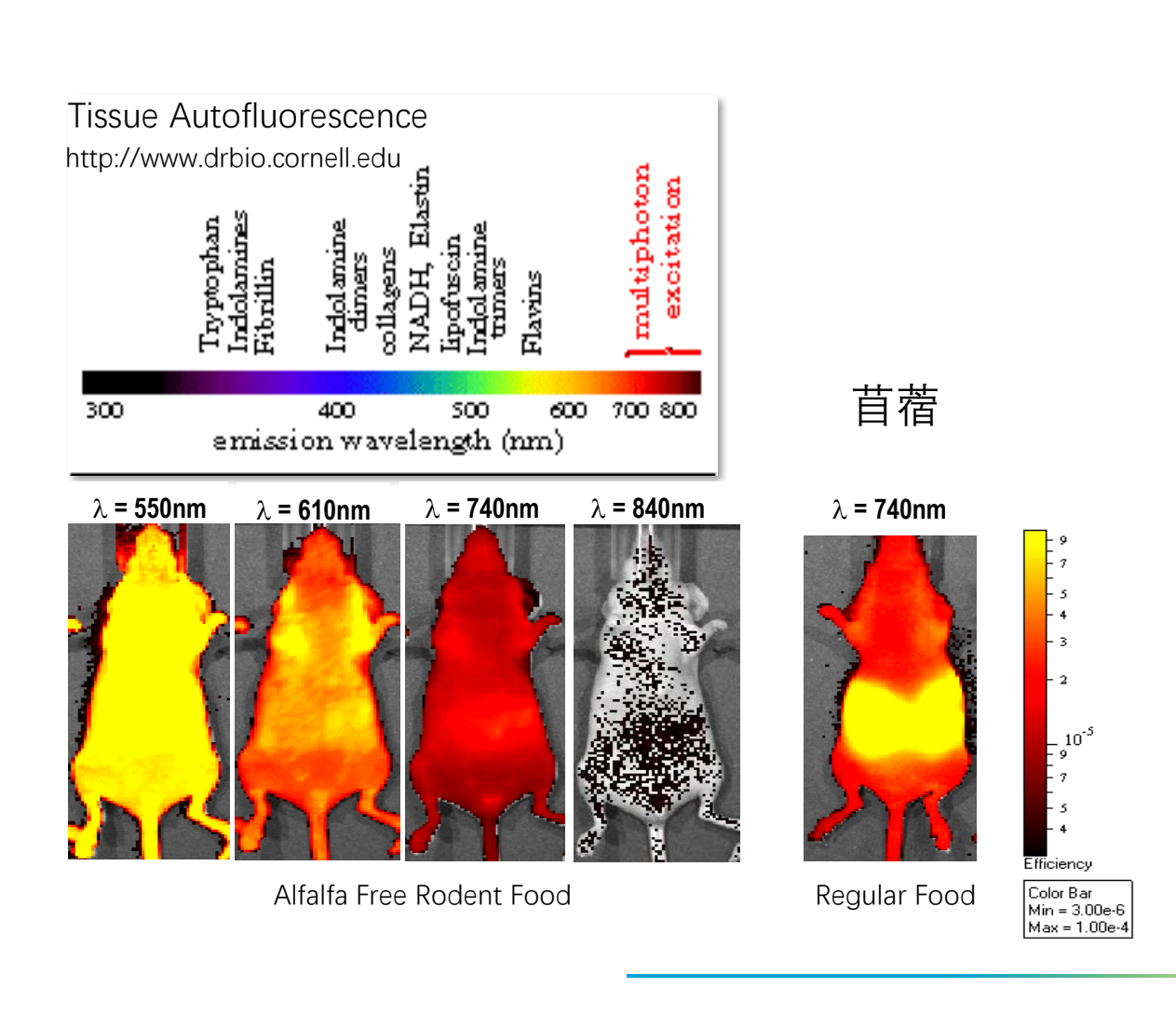


HUMAN HEALTH | FNVIREMENTAL HEALTH

SNR= Signal / Autofluorescence



血红蛋白和其他机体组分强烈吸收可见光。在近红外区域,组织吸收显著降低。



荧光成像-不同类型荧光探针



Fluorescent Agents

MANDComposTM 600		
MMPSense™ 680 MMPSense™ 645/750 FAST		
ProSense® 680		
ProSense® 750EX	Ac:	
ProSense® 750 FAST™	Activatable	
Cat K 680 FAST™	ta	
Cat B 680/750 FAST™	ble	
Neutrophil Elastase 680 FAST™		
ReninSense 680 FAST™		
IntegriSense™ 645/680/750		R
OsteoSense [®] 680EX/750EX/800		ed
Annexin-Vivo 750		ž
RediJect Bacteria Probe 750	Tar	ᄝ
HypoxiSense™ 680	Targetec	Щ
FolateRSense™ 680	ted	Red/NIR Imaging Agents
BombesinRSense™ 680		рg
Transferrin-Vivo™ 750		Α
GastroSense™ 750		gei
Genhance™ 680/750	Ъ) ts
	hy	
Superhance [™] 680	sio	
AngioSense® 680/750EX	Physiologic	
AngioSPARK® 680/750	<u>i</u> .	
GFR-Vivo™ 680		
VivoTag® 645/680/800		
VivoTag®-S 680/750	La	
VivoTag® 680/800 XL	Labels	
Xenolight DiR	S	
VivoTRACK™ 680		

HUMAN HEALTH | ENVIREMENTAL HEALTH

Applications

Cancer

- Progression
- Treatment
- Biomarkers

Inflammation

- Acute/Chronic
- Arthritis
- Pulmonary
- Other

Tox/Safety

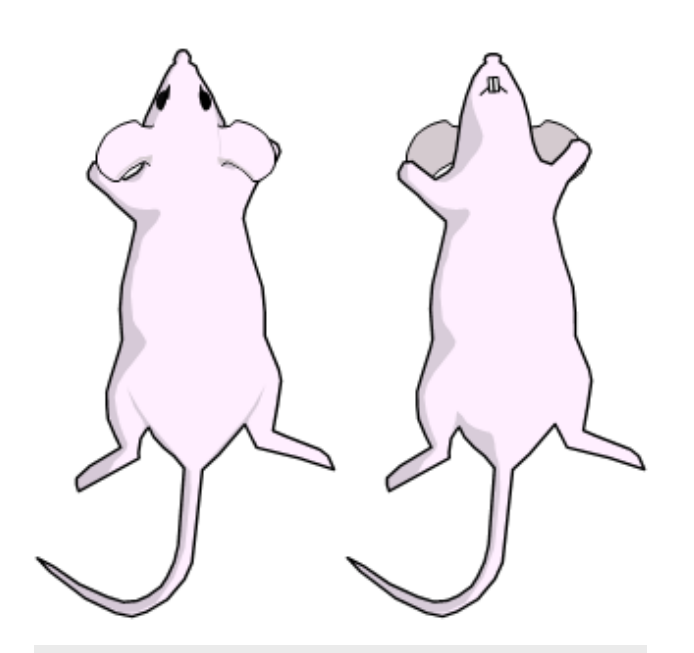
- Liver
- Kidney
- Gastric

Pharmacology

- Biodistribution
- Pharmacokinetics

PerkinElmer For the Better

HUMAN HEALTH | ENVIREMENTAL HEALTH



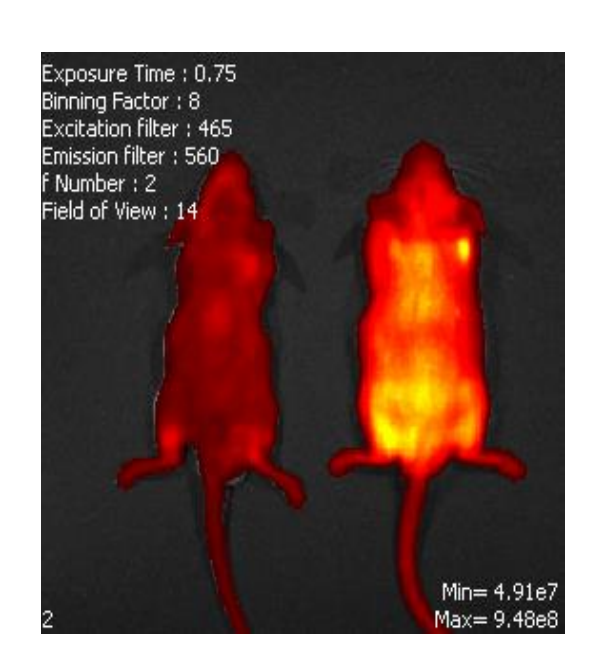
Depilation not required

- Nude mice
- SKH1-E



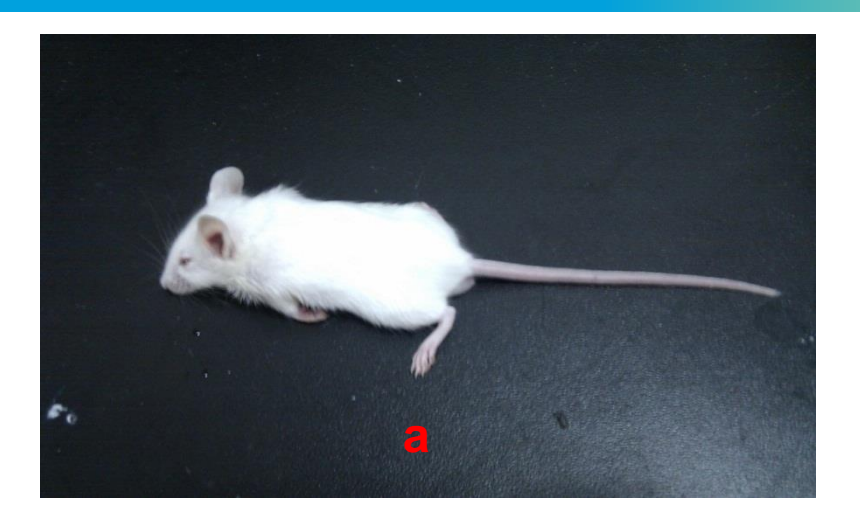
Depilation required

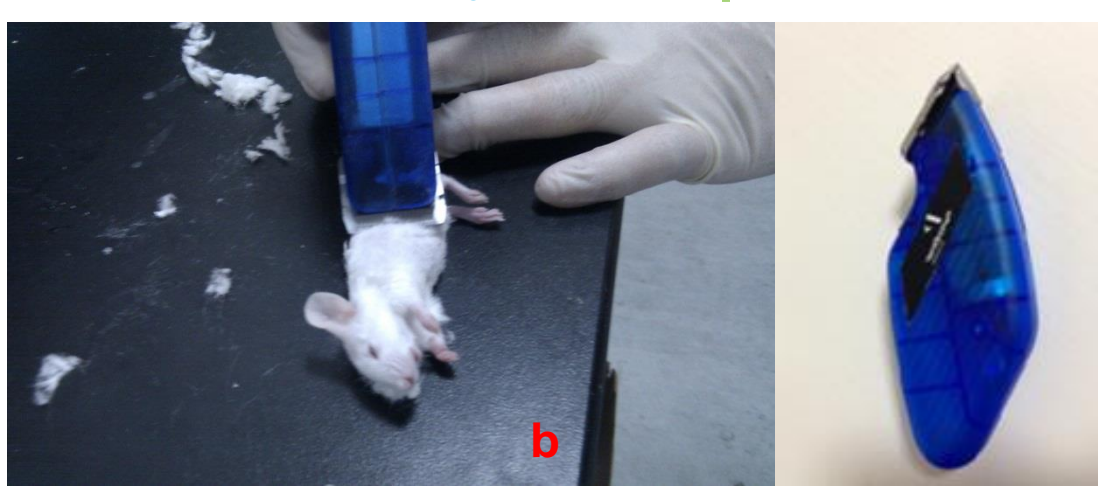
Normal, haired mouse strains BALB/c, C57BL/6 etc . . .

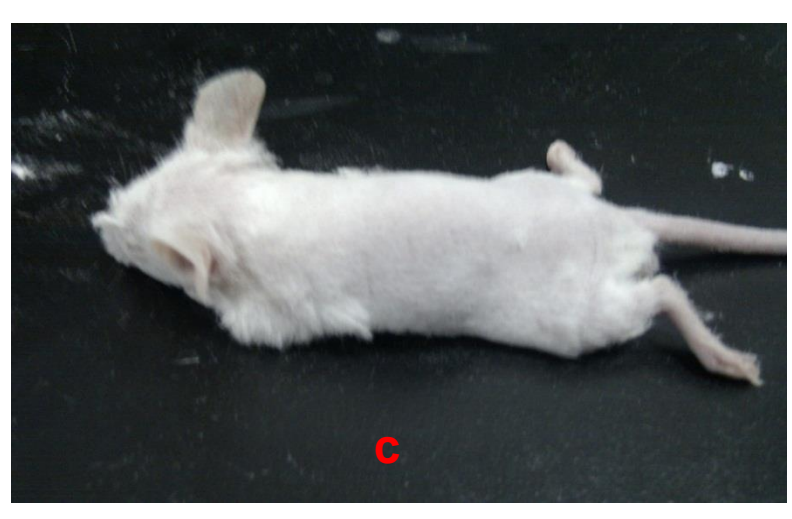


- 剃毛作用:降低毛发光吸收和光散射;去除来自毛发的背景荧光
- > 实验前一天剃毛





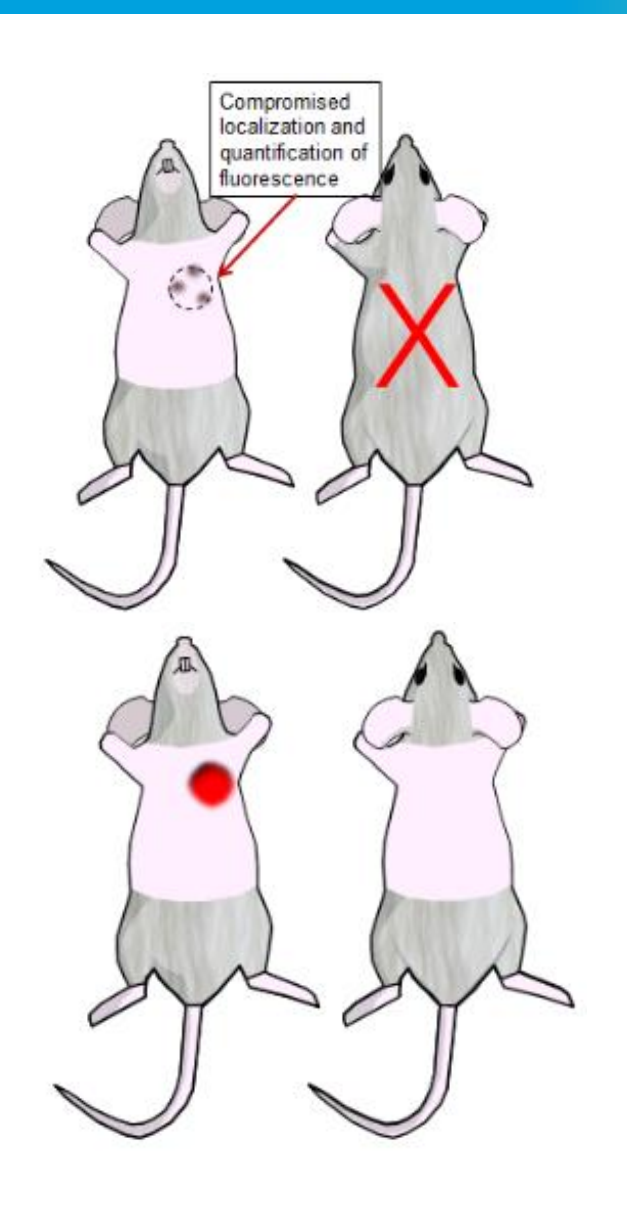


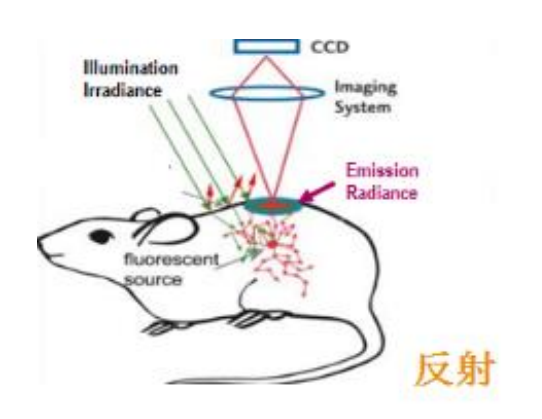




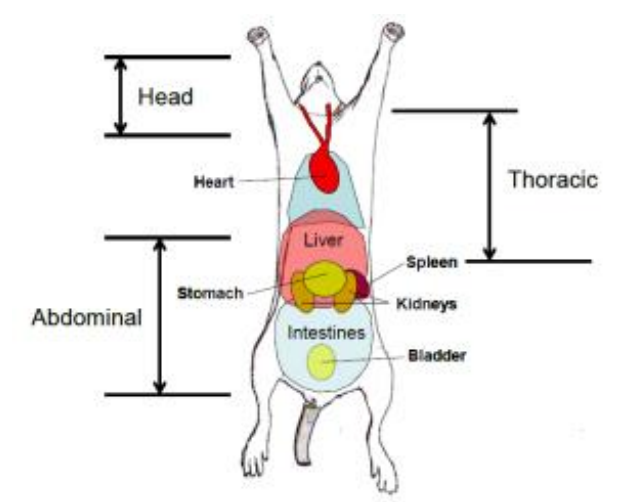
- a 剃毛前, 体重16 g (约4 week) Balb/c 雄性小鼠;
- b 使用PerkinElmer剃毛器对小鼠进行剃毛;
- c 使用剃毛器后的效果,基于剃毛刀头的设计,有约1 mm的体表绒毛无法剃除;
- d 使用脱毛膏,可以将剩下的体表绒毛干净地去除,用完脱毛膏后用纱布蘸温水檫拭小鼠,避免脱毛膏的自发荧光干扰。







炭光反射成像时一般只需剔除成像面侧毛



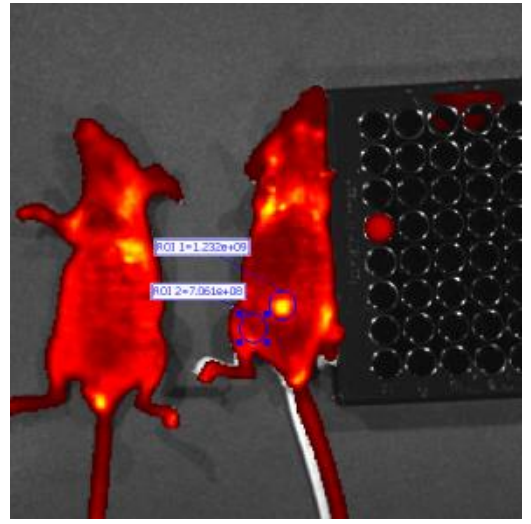
炭光透射成像时需剔除成像面两侧毛

荧光成像-光谱拆分

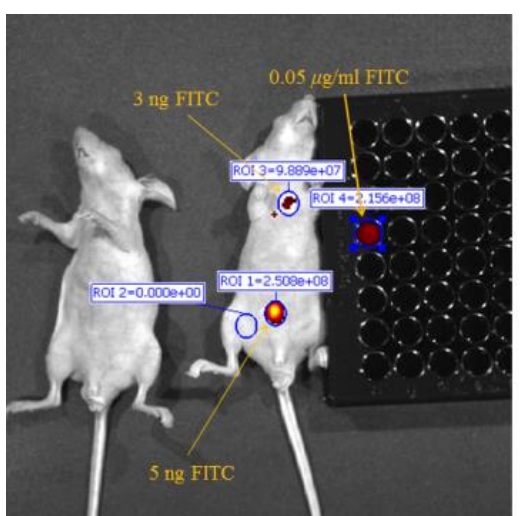


HUMAN HEALTH | ENVIREMENTAL HEALTH

荧光成像的挑战——组织背景荧光



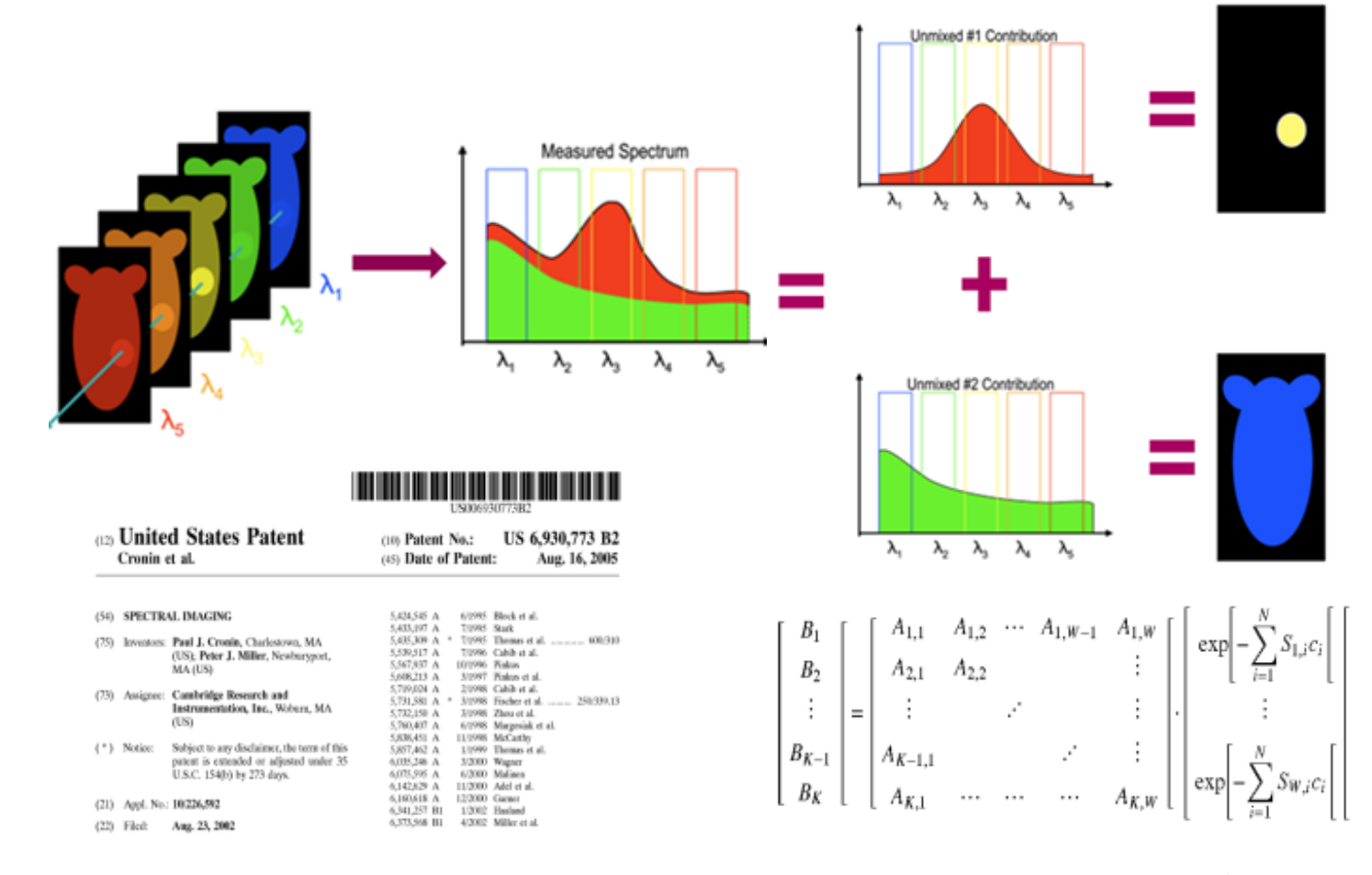






光谱扫描硬件配置

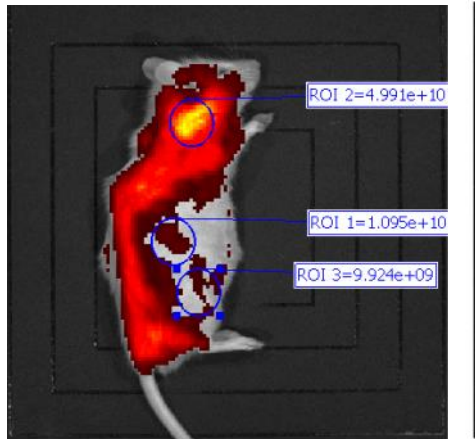
专利光谱拆分算法

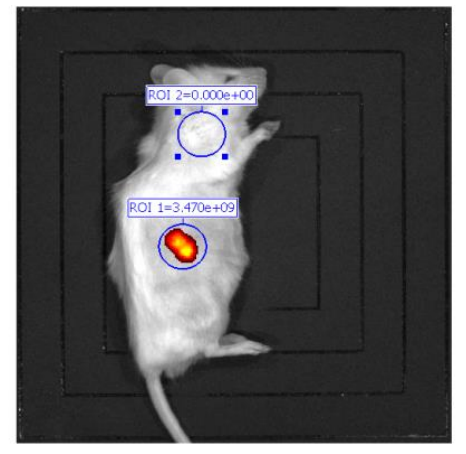


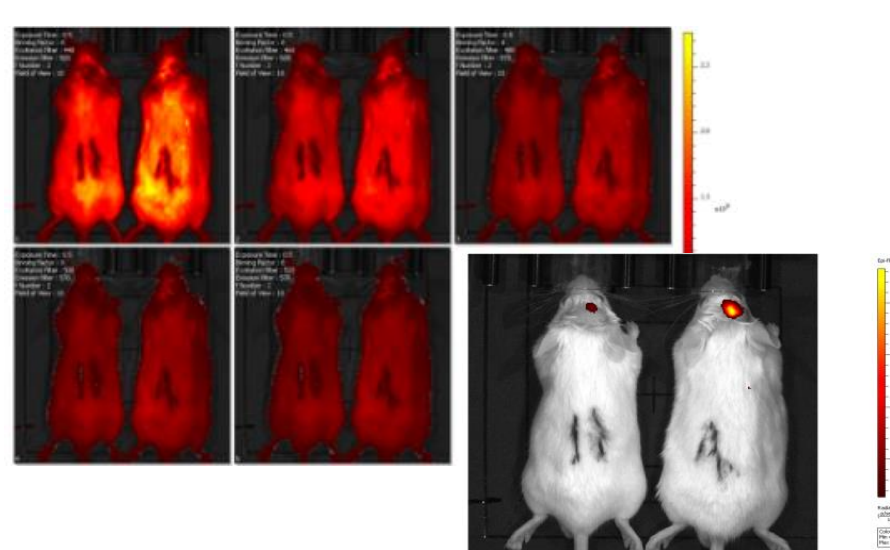
IVIS系统具有专利的荧光光谱分离技术,使用该技术已发表超过500篇文献



去除组织背景荧光

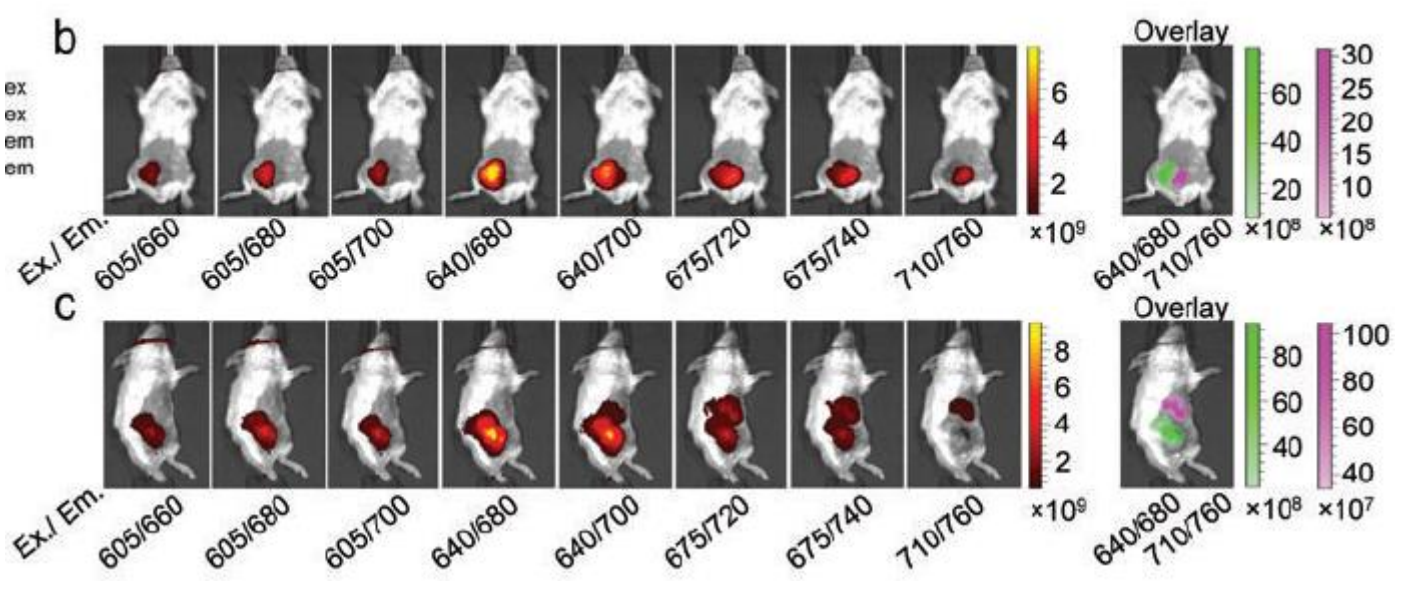




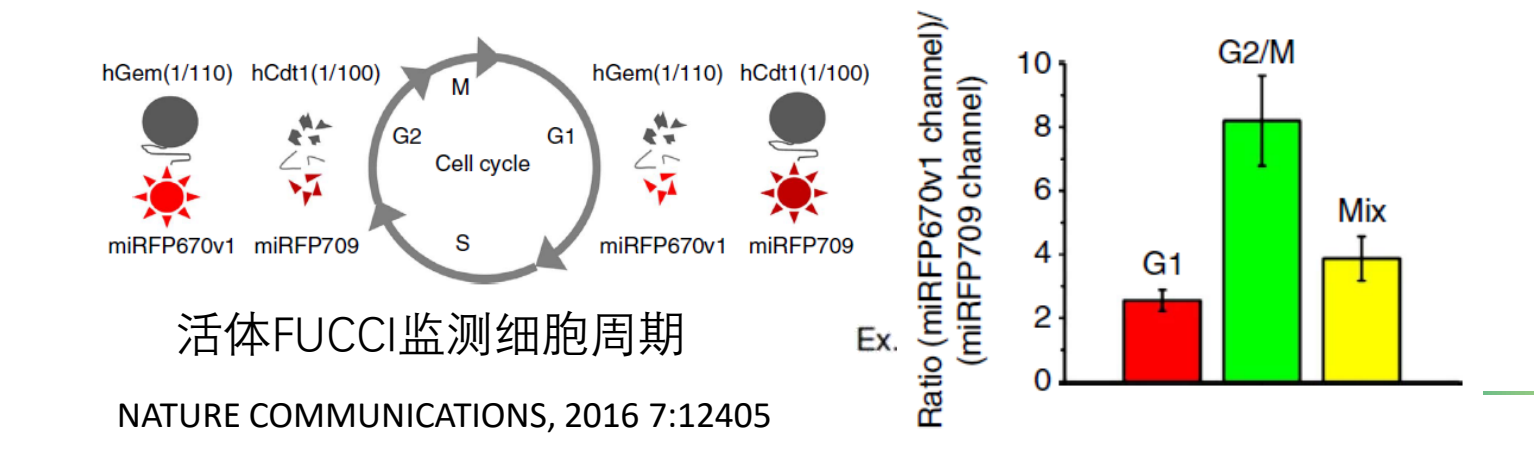


表达GFP的肿瘤细胞成像

多标记荧光的拆分



Shcherbakova and Verkhusha et al., Nat Methods. 2014

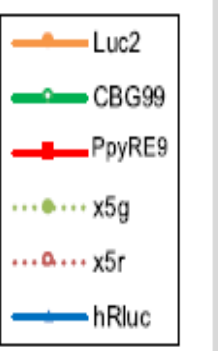


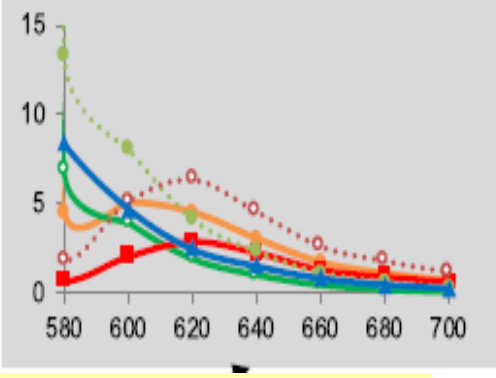
生物发光-常用荧光素酶及分类

HUMAN HEAL

Table 1 Luciferase Reporters Commonly Used for In Vivo BI Land Their Specifications

Table 1. Luciferase Reporters Commonly Used for <i>in vivo</i> BLI and Their Specifications						
Bioluminescent reporter	Emission peak in vivo	Size (kDa)	Substrate	Cofactors	Codon optimized for mammalian expression	a x5r —— hRluc
Photinus pyralis; North American firefly luciferase	~600 nM	62	p-Luciferin	O ₂ , Mg ⁺⁺ , ATP	YES (Luc2)	[7,8]
Photinus pyralis red; North American firefly luciferase	618 nM	62	p-Luciferin	O ₂ , Mg ⁺⁺ , ATP	YES (PpyRE8/9)	[9]
Luciola italica red; Italian firefly luciferase	∼620 nM	64	p-Luciferin	O ₂ , Mg ⁺⁺ , ATP	YES (L.it RE)	[10]
Pyrophorus plagiophthalamus; click beetle luciferase	Red: 613 nM Green: 537 nm	64	p-Luciferin	O ₂ , Mg ⁺⁺ , ATP	YES (CBred)	[11]
					YES (CBG99, CBG68)	[7,11]
Renilla reniformis; sea pansy luciferase	hRLUc 480 nM	36	Coelenterazine	N/A	YES (hRLuc)	[7,12]
	hRluc8 480 nM	36	Coelenterazine	N/A	YES	[13,14]
	hRluc8.6 535 nM	36	Coelenterazine	N/A	YES	[13,14]
Gaussia princeps; Gaussia luciferase	480 nM	20	Coelenterazine	N/A	YES (hGluc)	[15]
Oplophorus gracilirostris; NanoLuc Iuciferase	460 nM	19	Furimazine	N/A	YES (Nluc)	[16,17]
Cypridina noctiluca; Cypridina luciferase	~460 nM	62	Cyprinidid luciferin	N/A	YES (Cluc)	[18]
Vargula hilgendorfii; sea firefly luciferase	~460 nM	62	Cyprinidid luciferin	N/A	YES (Vluc)	[19,20]
Aequorea Victoria; aequorin photoprotein	∼460 nM	62	Coelenterazine	O ₂ , Ca++	YES (opAEQ)	[21,22]
Photorhabdus luminescens; bacterial luciferase	490 nM	40 and 37	FMNH ₂ , long chain fatty aldehyde	O ₂	YES (LuxAB)	[23]











海虾



底物为 海萤荧光素



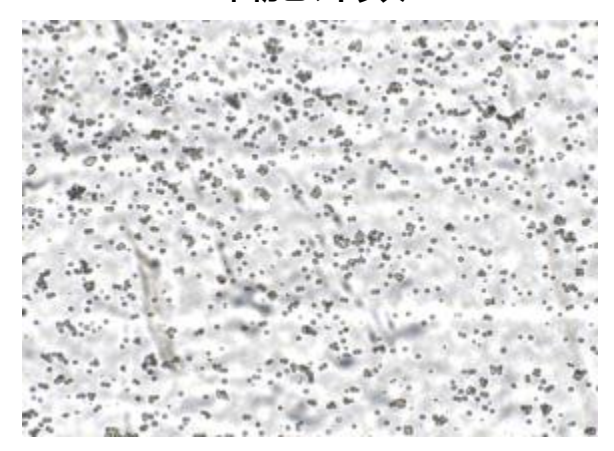
改造的发光细菌

细胞生物发光效率测试



HUMAN HEALTH | ENVIREMENTAL HEALTH

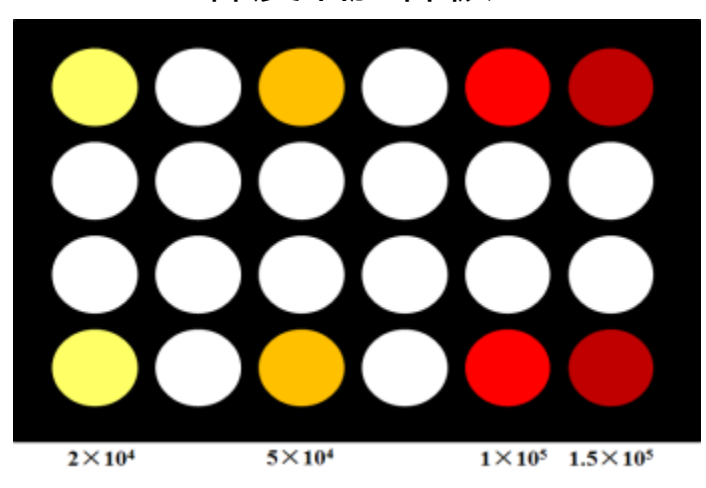
细胞计数



PerkinElmer #1450-605

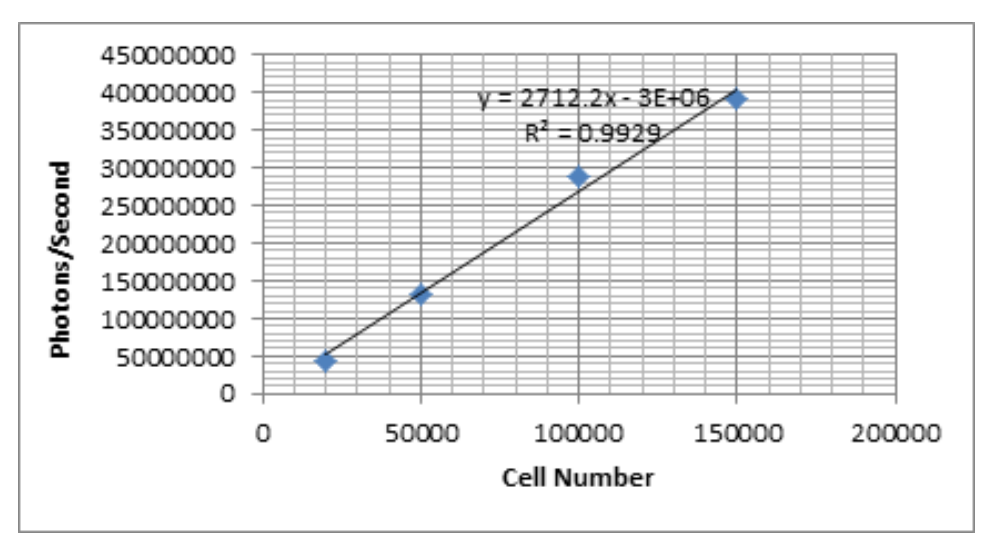


梯度细胞种板



| DEC 2=4.85640) | SEL4=1.056408 | FLE B=4.0540408 | FLE B=4.05404

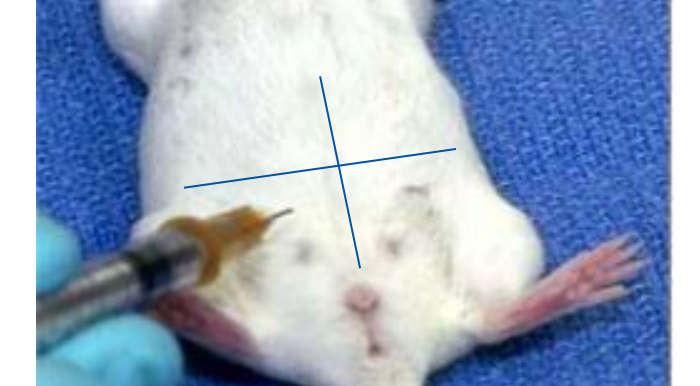
加入150 µg/ml D-luciferin底物溶液 3 min后使用IVIS系统成像



统计并计算Photons/sec/cell值

≥200







- · 底 物 注 射 后 10~20min进入成 像平台期
- · 2 h后信号消失



腹腔注射



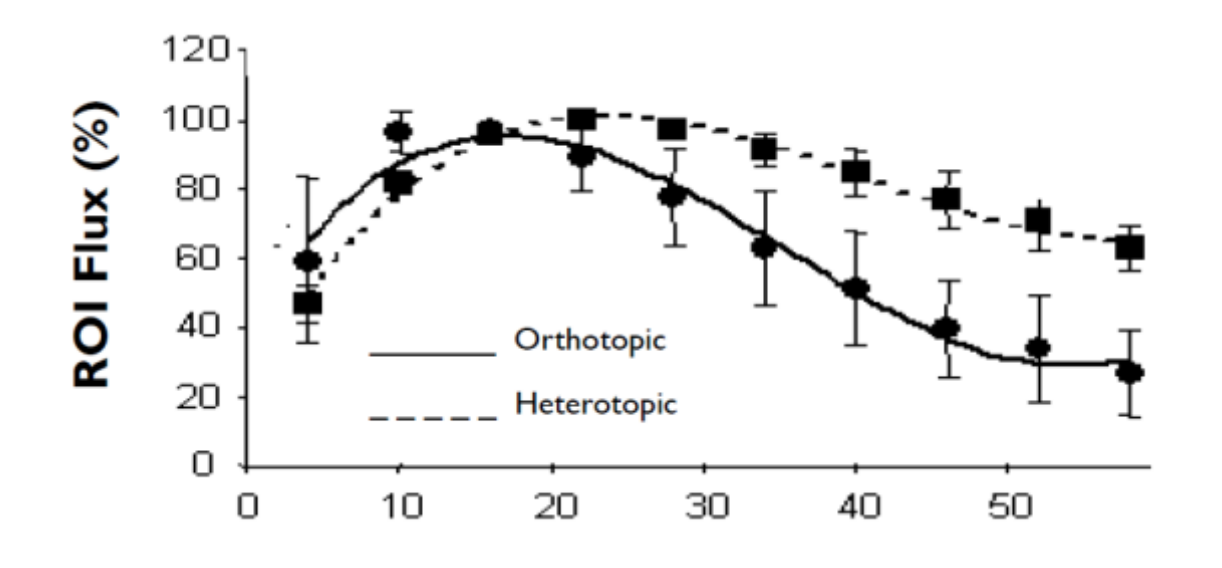


- ・ 底物注射后约<mark>2min</mark> 进入信号峰值
- 强度数倍于腹腔注射
- · 约30min信号消失

底物剂量: 150 mg D-Luciferin/kg 鼠体重

!!! 对每个生物发光实验动物模型,首先需测一条生物发光动力学曲线,得出最适成像时间点

- 1. 注射荧光素酶底物 (建议在动物清醒时注射);
- 2. 3 min后, 麻醉动物 (建议使用气体麻醉);
- 3. 将麻醉后的动物放入成像仓中,在荧光素注射后约5min时刻拍摄第一张图片;
- 4. 之后每2 min拍一张,持续拍摄60 min,得到一条针对该实验模型的荧光素动力学曲线



原位和异位种植的Brain tumor 的生物发光荧光素动力学曲线

- 依据上述曲线选取最佳成像时间点。
- · 一般情况下,大多数实验模型的最佳成像时间点位于荧光素腹腔注射后10-20分钟。

其它成像前需注意



- 1. 不要使用标记笔在小鼠身上做标记; 建议剪脚趾或在小鼠尾巴尖端做标记, 并用黑纸板盖住;
- 2. 尽量选择异氟烷气体麻醉的方式,避免使用液体注射麻醉;
- 3.检测荧光弱信号,如果效果达不到预期,请尝试用黑纸板遮住其它有干扰的强信号后拍摄;
- 4.如果看肿瘤转移等微弱的生物发光信号,需要把较强的原位肿瘤信号遮住;

网络课堂



HUMAN HEALTH

ENVIREMENTAL HEALTH

CART 生物制药 纳米医药

IVIS视角——[Nature]亚克隆合作通过修饰局部和全身的免疫微观环境驱动肿瘤转移



st & Microbe

I Company

IVIS

Original:张勇

IVIS视角 | 活体成像助力隐孢子虫感染可视化模型构建



Original:Teresa

IVIS视角 | 醛缩酶B介导的果糖代谢诱导了结肠癌肝转移过程中的代谢重组



IVIS 视角 | 使用生物发光成像实时监测体内葡萄糖摄取

Original:Sherry

IVIS视角 | 更灵敏的炎症反应检测——光动力诊疗双功能探针开发





转化医学系列 | 液闪检测在肿瘤治疗的不同理念中的应用

观看回放



转化医学系列 | 仿生纳米材料在脑胶质瘤治疗中的应用探索

观看回放



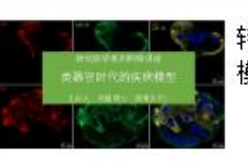
转化医学系列 | 高内涵筛选平台助力药物研发实例分析

观看回放



转化医学系列 | BRD4和ALKBH5的活性测定方法建立及其抑制剂的发现

观看回放



转化医学系列 | 类器官时代的疾病 模型

观看回放



转化医学系列 | 小动物多模态成像 技术在抗癌药物研究中的应用

观看回放



转化医学系列 | 多能干细胞神经分化技术在药物发现及细胞替代治疗上的应用

观看回放



3D仿生生理和病理微组织阵列技术助力药物研发和临床治疗

观看回放



精准医疗系列 | 从拉罗替尼获批到 新一代TRK抑制剂药物研发

观看回放











CHANGING THE WORLD

INDUSTRY LEADING **TECHNOLOGIES** AND SERVICES

POWERING BREAKTHROUGHS ACROSS MARKETS

